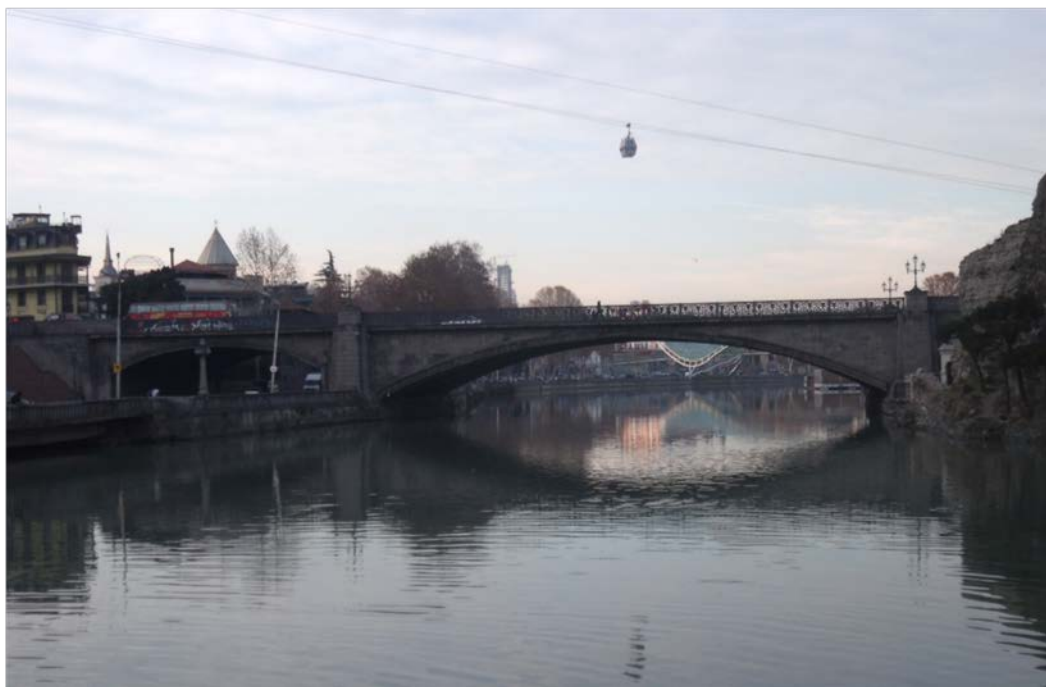


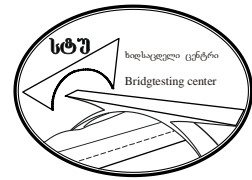
საქართველოს ტექნიკური უნივერსიტეტი  
ს ი დ ს ა ც დ ე ლ ი ც ე ნ ტ რ ი

**მდ. მტკვარზე მეტასის ხიდის  
გამოკვლევა**





საქართველოს ტექნიკური უნივერსიტეტი  
ს ი დ ს ა ც დ ე ლ ი ც ე ნ ტ რ ი



სტუ ადმინისტრაციის  
ხელმძღვანელი, პროფ.

ქ. ქოქრაშვილი

"\_\_\_\_\_" 2015 წ.

გდ. მტკვარზე მეტასის სიღის  
გამოკვლევა

სასწავლო-სამეცნიერო  
ცენტრის ხელმძღვანელი

თ. ცვარიანი

## შემსრულებლები

1. თ. ცვარიანი		ცენტრის ხელმძღვანელი, აკად. დოქტორი, სამუშაოთა საქონი ხელმძღვანელობა, საველე სამუშაოები, ანგარიშის ავტორი
2. გ. დათუქიშვილი		წამყ. მეც. მუშაკი, ტ.მ.კ., საველე სამუშაოები, მონაცემთა დამუშავება, ანგარიშის ავტორი
3. ბ. მაისურაძე		წამყ. მეც. მუშაკი, ას. პროფ., საველე სამუშაოები, მონაცემთა დამუშავება, ანგარიშის ავტორი
4. ქ. კობახიძე		მეც. მუშაკი, ტ.მ.კ., საველე სამუშაოები, მონაცემთა დამუშავება, გრაფიკული მასალა, ანგარიშის ავტორი
5. გ. მისაბიშვილი		ინჟინერი, საველე სამუშაოები, მონაცემთა დამუშავება, გრაფიკული მასალა
6. ბ. ბერიანიძე		ინჟინერი, საველე სამუშაოები, მონაცემთა დამუშავება, გრაფიკული მასალა
7. გ. ზექალაშვილი		ინჟინერი, საველე სამუშაოები, მონაცემთა დამუშავება, გრაფიკული მასალა
8. დ. შიოლაშვილი		ინჟინერი, საველე სამუშაოები, მონაცემთა დამუშავება
9. მ. გალუსტაშვილი		ინჟინერი, საველე სამუშაოები, მონაცემთა დამუშავება, გრაფიკული მასალა
10. დ. წულუქიძე		ინჟინერი, საველე სამუშაოები, მონაცემთა დამუშავება
11. გ. ბერიშვილი		უფ. ინჟინერი, გეოდეზისტი, საველე სამუშაოები, მონაცემთა დამუშავება
12. თ. ჩადუნელი		ინჟინერი, მონაცემთა დამუშავება
13. თ. პატარკაციშვილი		ინჟინერი, მაგისტრანტი, გრაფიკული მასალა, ანგარიშის გაფორმება
14. თ. ჯაფარიძე		ინჟინერი, მაგისტრანტი, გრაფიკული მასალა, ანგარიშის გაფორმება
15. ზ. ტატიშვილი		ინჟინერი, მაგისტრანტი, გრაფიკული მასალა, ანგარიშის გაფორმება
16. ლ. კალანდაძე		ინჟინერი, მაგისტრანტი, გრაფიკული მასალა, ანგარიშის გაფორმება

## სარჩევი

შესაგალი.....	4
1. ხილის მოკლე აღწერა.....	5
2. ხილის პოსტრუქციების გამოკვლევა.....	7
3. გალის ნაშენის მზიდუნარიანობის განსაზღვრა.....	9
3.1. სართო დებულებები .....	9
3.2. ფილისა და თაღების დამაკავშირებელი განივი კოჭების გადაანგარიშება....	9
3.2.1 ფილის გადაანგარიშება.....	9
3.2.1. განივი კოჭის გაანგარიშება.....	12
3.2.2. ესტაკადის მცირე თაღების გაანგარიშება.....	14
3.3. დიდი მალის კამარების გაანგარიშება.....	15
3.3.1. მღუნავი მომენტის განსაზღვრა დამუხრუჯების ძალისგან.....	17
3.3.2. გადაანგარიშების შედეგები.....	18
3.3.3. ყველაზე დატვირთული კამარის მზიდუნარიანობის განსაზღვრა ხისტი არმატურის ამოყვანის დროს მასში მოქმედი ძაბვების გათვალისწინებით.....	20
3.4. სანაპირო მალის თაღის გადაანგარიშება.....	22
3.4.1. საერთო ნაწილი.....	22
3.4.2. მღუნავი მომენტები და ნორმალური ძალები თაღის ქუსლში.....	23
3.4.3. ქუსლის კვეთის შემოწმება მზიდუნარიანობაზე.....	24
4. რეკომენდაციები და დასკვნა.....	27
ლიტერატურა.....	28
დ ა ნ ა რ თ ე ბ 0 .....	29
დანართი 1 .....	30
დანართი 2 .....	36

## **შესავალი**

წინამდებარე ანგარიში შესრულებულია საქართველოს ტექნიკურ უნივერსიტეტისა და თბილისის მერიას შორის 2014 წლის 20ნოემბერს დადგებული ხელშეკრულებით გათვალისწინებული სამუშაოების ნაწილის რეალიზაციის ფარგლებში და მოიცავს ქ. თბილისში მდ. მტკვარზე მდებარე მეტების ხიდის გამოკვლევას.

ხიდის გამოკვლევას საფუძვლად დაედო “დამკვეთის”, ქ. თბილისის მერიისმიერ გაცემული მომსახურების სამუშაოთა ნუსხა.

გამოკვლევას სამუშაოების მეთოდიკა დაფუძნებულია საქართველოს ტექნიკური უნივერსიტეტის ხიდსაცდელი ცენტრის სამოცდახუთწლიან გამოცდოლებასა და მოქმედი ნორმატიული დოკუმენტების მოთხოვნებზე: «СНиП 2.05.03-84. Мосты и трубы. Нормы проектирования», «СНиП III-43-75. Мосты и трубы. Правила производства и приемки работ», «СНиП 3.06.07-86. Мосты и трубы. Правила обследований и испытаний», «ГОСТ 25192-82. Бетоны. Классификация и общие технические требования».

## 1. ხიდის მოპლე აღჭრა

ხიდი ქ. თბილისში მდ. მტკვარზე მეტეხის ციხესთან აიგო ამ ადგილისთვის ტრადიციული ხიდური გადასასვლელის ადგილზე. იგი დაპროექტებულია 1950 წელს საპროექტო ინსტიტუტის “თბილქალაქპროექტის” მიერ (პროექტის ავტორი ჩომახიძე, არქიტექტორი დემხინელი), ხოლო მშენებლობით იგი დამთავრდა 1952 წელს.

ხიდის დაპროექტებისას მიღებული იყო ნორმები “Технические условия и нормы проектирования искусственных сооружений на городских путях сообщения” (Минкоммунхоз РСФСР, 1948 г.).

ხიდი ორმალიანია და წარმოადგენს ორი უსახსრო თაღის კომბინაციას. დიდი მალის მქონე თაღით გადახურულია მდ. მტკვრის კალაპოტი, ხოლო მცირე მალის ქვეშ გადის მდინარის მარჯვენა სანაპიროს გაყოლებით არსებული საავტომობილო მაგისტრალი. ხიდი განლაგებულია მდინარის დინების დერძის მიმართ  $30^{\circ}$  კუთხით.

ხიდის სიგრძე არის 98,25 მ. ხიდის გაბარიტი პროექტის მიხედვით ტოლია 8- $19.60+2\times3.00$  მ. გათვალისწინებულია ხიდქვეშა სანაოსნო გაბარიტი.

მარცხენა, დიდი თაღის საანგაროშო მალია  $L_{cm}=43,50$  მ, აწეულობის ისრით  $f_m=4,87$  მ, ხოლო მარჯვენა, მცირე მალის საანგაროშო მალია  $L_{cr}=20,40$  მ, აწეულობის ისრით  $f_r=2,33$  მ. ორივე თაღის ფარდობითი აწეულობა შეადგენს

$$\frac{f}{L} = \frac{4,87}{43,50} = \frac{2,33}{20,40} = \frac{1}{11}$$

დიდი მალი გადახურულია სამი კამარით, რომელთაგან განაპირების სიგანეა 4,80 მ, ხოლო შუალასი შეადგენს 6,00 მ. კამარები დაცილებილია ერთმანეთს 450 სმ-ით. კამარები წარმოადგენს რკინაბეტონის კონსტრუქციას, რომელიც არმირებულია კამარის მოხაზულობის მზიდი გამჭოლკედლიანი ხისტი ფერმებით. ფერმები ჩამაგრებულია სანაპირო ბურჯის (მარცხენა ნაპირზე) და შუალედი ბურჯის (მარჯვენა ნაპირზე) მასივებში. კამარის სისქე ქუსლის კვეთში შეადგენს 110 სმ და კლიტის კვეთში – 85 სმ.

კამარებზე ამოყვანილია მცირე ზომის ნახევარწრიული თაღები, რომლებიც ხიდის განივად დაკავშირებულია ერთმანეთთან განივი კოჭებით და რომლებსაც ეყრდნობა წიბოვანი ფილა. კოჭები და ფილები ერთად წარმოქმნიან საგალი ნაწილის კონსტრუქციას. მცირე თაღების შიგნითა რადიუსია 125 სმ, ხოლო სისქე ტოლია 30 სმ. განივი კოჭებს შორის მანძილი შეადგენს 224 სმ, ხოლო მათი რკინაბეტონის კარკასული არმატურა წარმოადგენს AI არმატურის დეროებს. კოჭის განივევთის ზომებია  $165\times25$  სმ. ანაკრები ფილის ზომებაა სისქეში 10 სმ, წიბოებს შორის მანძილი ცვლადია 194, 183 და 48 სმ, ხოლო წიბოს სიგანე ტოლია 30 სმ.

კონსტრუქციების ბეტონია 170 მარკისა.

მცირე თაღებსა და გადახურვის ფილაზე ცვლადი სისქის მჭლე მსუბუქი ბეტონის შევსებად კირის პუცოლანური ცემენტისაგან, რომელზეც დაგებულია 30 სმ სისქის ხრეშის ფენა მასზე მოწყობილი აფლტობეტონის 8 სმ სისქის საგალი ნაწილით.

მცირე მალი გადახურულია მთლიანი თაღით კარკასული AI კლასის მოქნილი არმატურით. თაღის სისქე კლიტებში ტოლია 55 სმ-სა, ხოლო ქუსლის კვეთში თა-

ლის სისქე აღწევს 86 სმ. თაღის ბეტონის მასალად მიღებულია 170 მარკის ბეტონი. მასზე მოწყობილია თაღის შევსება მსუბუქი მჭლე ბეტონისაგან კირის პუცოლანურ ცემენტზე, რომელზეც დაგებულია ხრეშის ქვესადები 2 სმ სისქის პიდროიზოლაციით, 5 სმ სისქის დამცავი შრით, 90 მარკის ბეტონისაგან, და ასფალტობეტონის საფარი 8 სმ სისქისა. თაღის ძირი დაფარულია კვადრატული 10 სმ სიღრმის კესონებით.

საშუალო სიმკვრივის ქვიშაქვებზე ამოყვანილი ხიდის ბურჯები მონოლითური ბეტონის მასიურ კონსტრუქციას წარმოადგენს. ბეტონის მარკაა M110 20% უორე ქვის შემცველობით.

სანაპირო ბურჯები საფეხუროვან საძირკველზეა ამოყვანილი, რაც გამოწვეულია ნაპირის დაფერდებით მდინარისაკენ. ბურჯის ტანი სხვადასხვა სისქის შებრუნებული კედლების მქონე კონსტრუქციაა.

შუალედი ბურჯი ასევე მასიური ბეტონის კონსტრუქციას წარმოადგენს, რომელიც ზედა კვეთში 415 სმ სიგანისაა, ხოლო ძირის კვეთში მისი სიგანე აღწევს 680 სმ. ბურჯის სიგრზე 27 მ-ია.

ბურჯები ძირში თლილი ქვით არის მოპირკეთებული, ხოლო ზედა ნაწილში მოპირკეთება წარმოდგენილია ქვის ფილებით, რომელიც თაღების და მათი გვერდითი კედლების მოპირკეთების გაგრძელებას წარმოადგენს.

3 მ-ის სიგანის ტროტუარს აქვს ასფალტბეტონის საფარი 2%-იანი ქანობით სავალი ნაწილისაკენ წვიმის წყლის გადასაყვანად. 1,2 მ-ის მოაჯირები სხმული თუჯის ფიგურულ ელემენტებს წარმოადგენენ, რომლებიც ხიდის თავსა და ბოლოში გადადის ქვის ფილებით მოპირკეთებული ბეტონის პარაპეტებში. ამაღლებული ტიპის ტროტუარებში მოწყობილია 100 სმ სიგანის დარი 500 მმ დიამეტრის ფოლადის მილის გასატარებლად და მეორე, ნაკლები ზომის დარი ტელეფონის ქსელის და დენის კაბელების გასატარებლად.

ხიდის მიმდებარე ტერიტორიაზე ორჯერ განიცადა რეკონსტრუქცია, რამაც შეცვალა ხიდის ურთიერთობა მიმდებარე ლანდშაფტთან და ხიდის მიმდებარე ტერიტორიაზე მოძრაობის ორგანიზაცია.

## 2. ხიდის კონსტრუქციების გამოკვლევა

2015 წლის თებერვლის თვეში საქართველოს ტექნიკური უნივერსიტეტის ხისაცდელი ცენტრის სპეციალისტების ჯგუფმა გამოიკვლია ქ. თბილისში მდ. მტკვარზე მდებარე მეტების ხიდი.

გამოკვლევის წინ მოძიებული იქნა ხიდის საშემსრულებლო დოკუმენტაცია.ასეთი დოკუმენტაცია არც საქართველოს ცენტრალურ არქივში და არც ქ. თბილისის არქივში მოძიებული ვერ იქნა.ხელმისაწვდომი აღმოჩნდა მხოლოდ ხიდსაცდელი ცენტრის არქივში დაცული ხიდის პროექტის ნაწილი და 1988 წელს შესრულებული ხიდის გამოკლევის ანგარიში.

გამოკვლევის დროს შესრულდა ტოპოგეოდეზიური და აზომვითი სამუშაოები, რომლის დროსაც განისაზღვრა ხიდის აბსოლუტური კოორდინატებიც. შესრულდა აგრეთვე ხიდის კონსტრუქციების ვიზუალური შემოწმება და ინსტრუმენტული კვლევა. ტოპოგეოდეზიური და აზომვითი სამუშაოების შედეგები წარმოადგენილია II დანართში, ხოლო გამოკვლევის ფოტომასალა მოცემულია I დანართში.

კონსტრუქციების გამოკვლევებისას გამოყენებული იყო როგორც ვიზუალური შემოწმების, ასევე საველე ინსტრუმენტული გამოკვლევის მეთოდები.

ინსტრუმენტული შემოწმების შედეგად დადგინდა ბეტონის კლასი კუმშვაზე სიმტკიცის მიხედვით, რაც განისაზღვრა შმიდტის სკლერომეტის გამოყენებით. დადგინდა, რომ ბეტონის კლასი ტოლია B15. დამცავი ფენის სისქე ცვალებადია და მერყეობს 3.0 სმ-დან 8.0 სმ-მდე.

ხიდის გამოკვლევის შედეგად დადგინდა, რომ ნაგებობათა კომპლექსი მთლიანობაში საკმაოდ კარგ მდგრმარეობაშია. მზიდ კონსტრუქციებში არ აღინიშნება ისეთი სახის რაიმე სერიოზული დაზიანებები, რომლებიც საფრთხეს უქმნიან კონსტრუქციების მზიდუნარიანობას, თუმცა აღინიშნა რიგი დეფექტებისა და დაზიანებებისა, რომლებიც, ერთის მხრივ, გავლენას ახდენენ კონსტრუქციების ხანმედეგობასა და რესურსზე და, მეორეს მხრივ, აქვეითებენ ნაგებობის საექსპლოატაციო მახასიათებლებს.

ხიდური გზაგამტარის შემოწმებისას გამოვლინდა შემდეგი დეფექტები და დაზიანებები.

- სადეფორმაციო ნაკერის გადახურვის ასფალტობეტონის საფარი მარჯვენა ნაპირის მცირე მალის სანაპირო ბურჯის ბოლოში დაბზარული და დაზიანებულია;

- ხიდიდან წალმოცილების სისტემის ტროტუარის ბორდიურში მოწყობილი სამი ფანჯრის ძირში მდებარე წყალმიმდების გისოსები გაბიდნულია გამაგრებული ტალახით და არ ფუნქციონირებს;

- მცირე მალში მანქანის ძარასთან შეჯახების გამო თაღის, მდინარის მხარეს მყოფი ნაწილის ბეტონი 3-5 მ-ის მანძილზე 5-15 სმ-ის სიღრმეზე დაზიანებულია, ხოლო მოპირკეთების ქვები თაღის შესასვლელში ჩამოტეხილია;

- როგორც მცირე მალის თაღზე, ისევე დიდ მალის კამარებში აღინიშნება გამოტუტვის ლაქები, ძირითადად ხიდის დერმზე;

- დაზიანებულია ტროტუარის კონსოლის ქვეითა ზედაპირის დამცავი შრის ბეტონი;

- დამცავი შრე დაზიანებულია კოროზიისაგან და გამოტუტვისაგან კამარების დამაკავშირებელ განივი კავშირებისა და კამარის შეურთების ადგილებში;

- ცენტრალური განივი კავშირის მონაკვეთზე დაზიანებულია დამცავი შრე და არმატურა გაშიშვლებულია;
- მარცხენა ნაპირზე ზემომხრის მიწაყრილის კონუსი დეფორმირებულია;
- საერთოდ აღსანიშნავია, რომ ნაგებობის მოვლა-შენახვის სამუშაოები შემოიფარგლება მხოლოდ მისი სავალი ნაწილის და მის ზევით განლაგებული ნაწილების პერიოდულ შეკეთებაში.

### 3. მაღის ნაშენის მზიდუნარიანობის განსაზღვრა

#### 3.1. სართო დებულებები

პროექტი შედგენილია და შესაბამისი ანგარიში ჩატარებულია საპროექტო ინსტიტუტის „თბილქალაქპროექტის“ მიერ 1950 წ. და სადღეისოდ საჭირო ხდება ხილის მზიდი კონსტრუქციების გადაანგარიშება ამჟამად მოქმედი ნორმების СНиП 2.05.03-84 შესაბამისად.

გადაანგარიშება შესრულდა ხილის პროექტის „ქ. თბილისში მდ. მტკვარზე მეტების ხილის ტექნიკური პროექტი (გრაფიკული ნაწილი)“ მასალების მიხედვით.

ხილის დაპროექტებისას გამოყენებული იყო რსფსრ კომუნალური მეურნეობის სამინისტროს 1948 წ. გამოცემული ნორმები. ხსენებული ნორმებით მიღებული იყო შევეული მოძრავი დროებითი დატვირთვა H-B, T-B, HГ-60 და ქვეითთა დატვირთვა ინტენსივობით 400 კგ/მ<sup>2</sup>.

#### 3.2. ფილისა და თაღების დამაკავშირებელი განივი კოჭების გადაანგარიშება

##### 3.2.1 ფილის გადაანგარიშება.

გადაანგარიშებისთვის შედგენილი იქნა ფილაზე და თაღების დამაკავშირებელ განივ კოჭებზე ახალი დატვირთვის გადაცემის სქემა (სურ. 3.1<sup>a,b</sup>).

მუდმივი დატვირთვების გაანგარიშება მოყვანილია ცხრილში 3.1.

ცხრილი 3.1

დატვირთვის სახეობა	ნორმატული დატვირთვები, ტ/მ <sup>2</sup>	საიმედოობის კოეფიციენტი	საანგარიშო დატვირთვები, ტ/მ <sup>2</sup>
1	2	3	4
ასფალტბეტონის საფარი, $\gamma=2.3$ ტ/მ <sup>2</sup>	$0.08 \cdot 2.3 = 0.184$	1.5	0.276
ბეტონის მოსამზადებელი ფენა, $\gamma=2.2$ ტ/მ <sup>2</sup>	$0.44 \cdot 2.2 = 0.968$	1.3	1.26
ჰიდროზოლაცია, $\gamma=2.4$ ტ/მ <sup>2</sup>	$0.05 \cdot 2.4 = 0.12$	1.3	0.156
რკინაბეტონის ფო- ლა, $\gamma=2.5$ ტ/მ <sup>2</sup>	$0.15 \cdot 2.5 = 0.375$	1.10	0.413
	$\Sigma g_n = 1.67$ ტ/მ <sup>2</sup>	—	$\Sigma g_p = 2.11$ ტ/მ <sup>2</sup>

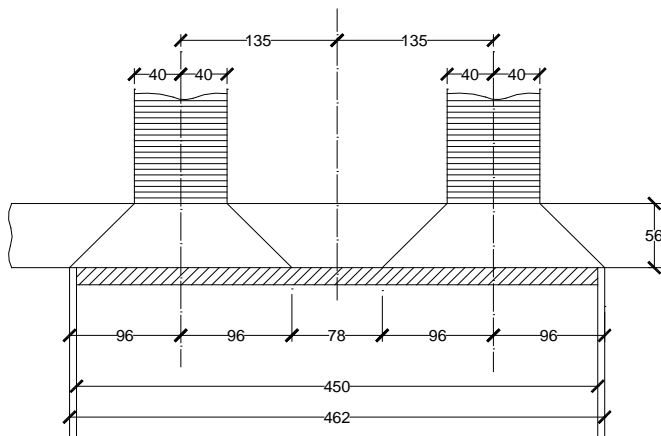
მდუნავი მომენტები მუდმივი დატვირთვებისაგან განისაზღვრება ფორმულით, რომლის შესაბამისი საანგარიშო სქემა მოყვანილია ნახ. 3.3-ზე.

$$l_g = l_c + h_g = 1.94 + 0.15 = 2.10 \text{ მ}$$

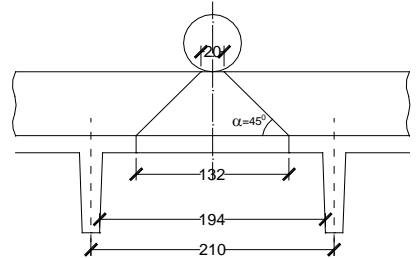
$$M_g = \frac{\sum g_p \cdot l_p^2}{8} \cdot k = \frac{2.11 \cdot 2.10^2}{8} \cdot 0.7 = 0.814 \text{ ტ} \quad (3.1)$$

სადაც  $k=0.7$  ჩამაგრების კოეფიციენტია.

რადგან მცირე მაღების შემთხვევაში კონსტრუქციაზე HK-80-ის დატვირთვის გავლენა აღემატება AK დროებითი დატვირთვის ზემოქმედებას, გაანგარიშებისთვის მიღება მდუნავი მომენტი HK-80 დროებითი დატვირთვისაგან.



ნახ. 3.1<sup>a</sup> HK-80 დატვირთვა ხიდის განიგად



ნახ. 3.1<sup>b</sup> დატვირთვა ხიდის გრძიგად

დატვირთვის განაწილების სქემა მოყვანილია ნახ. 3.1<sup>a</sup> და 3.1<sup>b</sup>-ზე. დატვირთვის განაწილების სიგანე, მალის გრძივი დერძის მართობული მიმართულებით, მიიღება შემდეგი გამოსახულებებით:

$$a_p + 2H + \frac{l}{3} = 0.20 + 2 \cdot 0.56 + \frac{2.1}{3} = 2.02 \quad (3.2)$$

ტექნიკური უნივერსიტეტის მეთოდიკით შეგვიძლია ([10, 11])

$$a'_p = 2.10 \approx 2.0 \text{ მ}$$

დინამიკურობის კოეფიციენტი(თანახმად ნახ. 3.2) იქნება

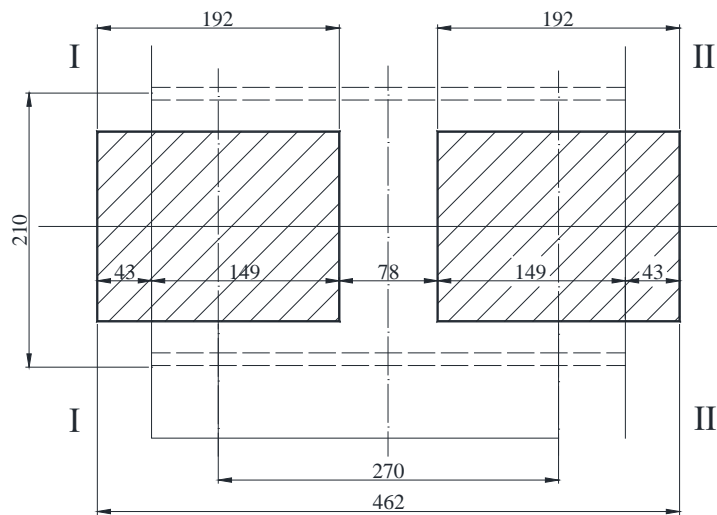
$$(1 + \mu) = 1.10 + \operatorname{tg} \alpha \cdot 1.9 = 1.10 + 0.095 = 1.20 \quad (3.3)$$



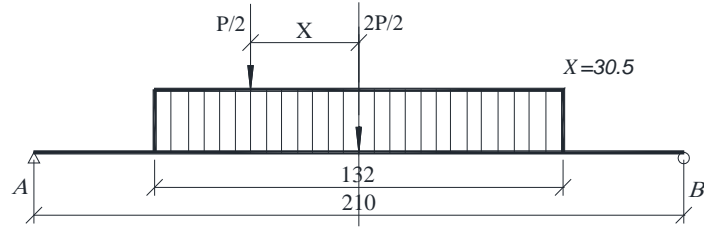
$$\operatorname{tg} \alpha = \frac{1.5 \cdot 1.10}{4} = 0.05$$

ნახ. 3.2. სქემა დინამიკური კოეფიციენტის განსაზღვრისათვის

დაწოლა I- I და II-II ხაზებზე (ნახ. 3.5 და 3.6-ის მიხედვით) HK-80-ის ორი ბორბლისაგან იქნება:



ნახ. 3.3. ბორბლების დაწოლის განაწილება ფილაზე



ნახ. 3.4. დატვირთვის განაწილება ფილაზე

$$A = B = \frac{P}{2} \cdot \frac{2}{2} = 10 \text{ ტ}, \quad (3.4)$$

ხოლო დინამიკური კოეფიციენტის გათვალისწინებით  
 $A(1+\mu) = 10 \cdot 1.20 = 12 \text{ ტ}$  (3.5)

მღუნავი მომენტი მაღის შუაში

$$M'_p = A \cdot (1+\mu) \cdot \frac{l}{2} - \frac{P}{2} \cdot 0.305 \cdot (1+\mu) = 12 \cdot 1.2 \frac{2.1}{2} - \frac{10}{2} \cdot 0.305 \cdot 1.2 = 13.29 \text{ ტ} \quad (3.6)$$

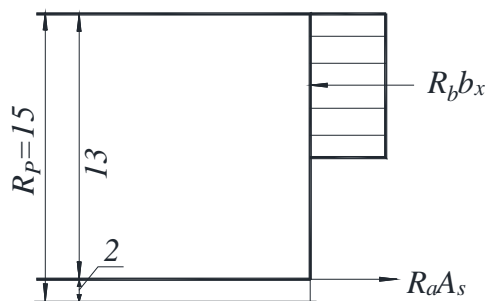
მღუნავი მომენტი ფილის 1 მ-ის სიგანეზე იქნება:

$$M_p = \frac{M'_p}{4.56} = \frac{13.29}{4.56} = 2.914 \text{ ტ} \cdot \text{მ} \quad (3.7)$$

საანგარიშო მღუნავი მომენტი იქნება

$$\Sigma M = M_g + M_p = 0.814 + 2.914 = 3.728 \text{ ტ} \cdot \text{მ} \quad (3.8)$$

კეთის მზიდუნარიანობა განისაზღვრება ნახ. 3.5 მიხედვით, რომლის შესაბამისი მონაცემები ტექნიკური პროექტის [5] მიხედვით არის: მოცემულ კეთში A-I კლასის არმატურის ფართობი 1 მ-ის სიგანეზე შეადგენს  $A_s = 17 \text{ სმ}^2$ , ხოლო საანგარიშო წინაღობა არის  $R_s = 2150 \text{ კგ/სმ}^2$ , ბეტონის საანგარიშო წინაღობა მიიღება (პროექტის მონაცემების მიხედვით)  $R_b = 75 \text{ კგ/სმ}^2$ . მაშინ



ნახ. 3.5. კეთის მზიდუნარიანობის განსაზღვრის სქემა

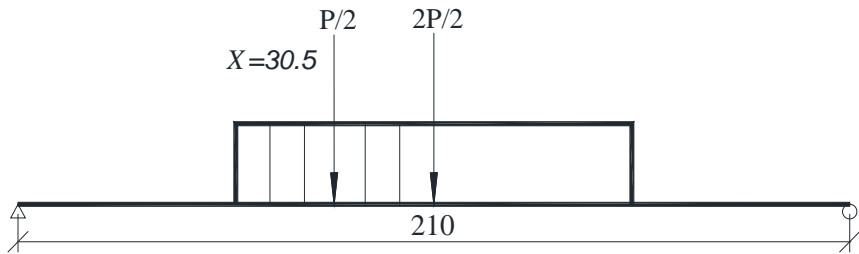
$$M_{\text{ყველა}} = A_s R_s Z = 17 \cdot 2150 \cdot \frac{13}{105} = 4.75 \text{ ტ} \cdot \text{მ} \quad (3.9)$$

და, შესაბამისად,

$$\Sigma M = 3.728 < M_{\text{ყველა}} = 4.75 \text{ ტ} \cdot \text{მ} \quad (3.10)$$

ანუ კეთის მზიდუნარიანობა უზრუნველყოფილია.

ფილის გაანგარიშება გადამჭრელ (განივ) ძალაზე საყრდენ კეთთან სრულდება ნახაზზე (ნახ. 3.6) მოყვანილი სქემის მიხედვით:



ნახ. 3.6. განივ ძალაზე ფილის გაანგარიშების სქემა

$$A \cdot (1 + \mu)l'_p - P \cdot (l'_p - 66)(1 + \mu) = 0 \quad (1.8)$$

საიდანაც

$$A \cdot (1 + \mu)l'_p = \frac{P \cdot 1.33(1 + \mu)}{210} - \frac{20 \cdot 1.44 \cdot 1.20}{2.10} = 16.6 \text{ ტ} \quad (1.9)$$

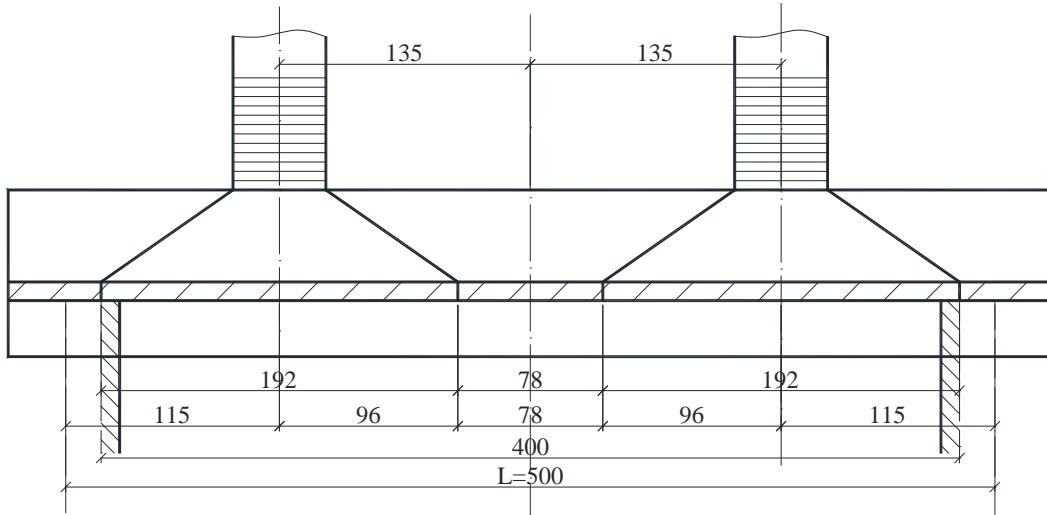
ძაბვა ჭრაზე განივი ძალისაგან იქნება:

$$R_{b,cut} = \frac{A(1 + \mu)}{400 \cdot h_g} = \frac{16600}{400 \cdot 15} = 2.8 < 0.1R_{b,cut} = 0.1 \cdot 75 = 7.5 \text{ ტგ/სმ}^2 \quad (1.10)$$

### 3.2.1. განივი კოჭის გაანგარიშება.

თაღების დამაკავშირებელი კონსტრუქცია, რომელიც, ამავე დროს, უზრუნველყოფს ხიდზე სავალი ნაწილის მოწყობას, ხორციელდება ფილისა და განივი კოჭების საშუალებით.

თაღებს შორის განლაგებული კოჭებისა და ფილის საანგარიშო სქემა მოცემულია ნახ. 3.7 და 3.8-ზე, სადაც მოყვანილია HK-80 დატვირთვის განლაგება კოჭზე და ფილაზე.



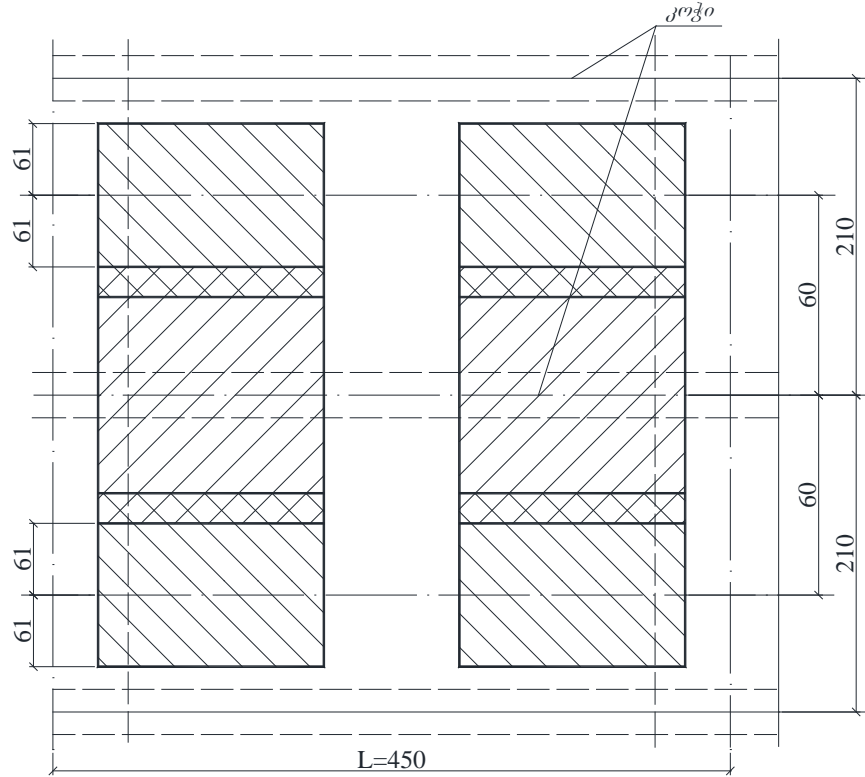
ნახ. 3.7. HK-80-ის განლაგება ფილაზე და განივ კოჭზე

მუდმივი დატვირთვა კოჭზე შედგენილია ასფალტბეტონის, მოსამზადებელი ფენის, პიდროიზოლაციის საკოუთარი წონებისაგან, რომელთა ხიდიდები აღებულია ცხრილი 3.1-დან.

$$q'_p = q_p \cdot l_g = 2.11 \cdot 2.10 = 4.4 \text{ ტ/მ} \quad (3.15)$$

წონა კოჭისა, რომლის კვეთი მოცემულია ნახაზზე (ნახ. 3.10), შეადგენს

$$q''_p = b(h - h_f)\gamma_f = 0.30(0.50 - 0.15)2.5 \cdot 1.10 = 0.289 \text{ ტ/(გრძ. მ)} \quad (3.16)$$



ნახ. 3.8. HK-80-ის განლაგება ფილაზე და კოჭებზე (ზედაები)

სრული მუდმივი დატვირთვა იქნება:

$$q_p = q'_p + q''_p = 4.40 + 0.289 = 4.70 \text{ ტ/გრ. მ} \quad (3.17)$$

მომენტი მუდმივი დატვირთვისაგან შეადგენს

$$M_q = \frac{q_p \cdot L^2}{8} = \frac{4.70 \cdot 4.50^2}{8} = 11.8 \text{ ტ·მ} \quad (3.18)$$

მომენტი დროებითი დატვირთვისაგან:

$$M'_p = (A \cdot \frac{L}{2} - \frac{P}{2} \cdot 1.35) \cdot (1 + \mu) \cdot N = (10 \cdot \frac{4.5}{2} - \frac{20}{2} \cdot 1.35) \cdot 1.354 \cdot 2 = 24.5 \text{ ტ·მ} \quad (3.19)$$

სადაც  $N=2$  – HK-80-ის ორი დერძიდან კოჭზე გადაცემაა;

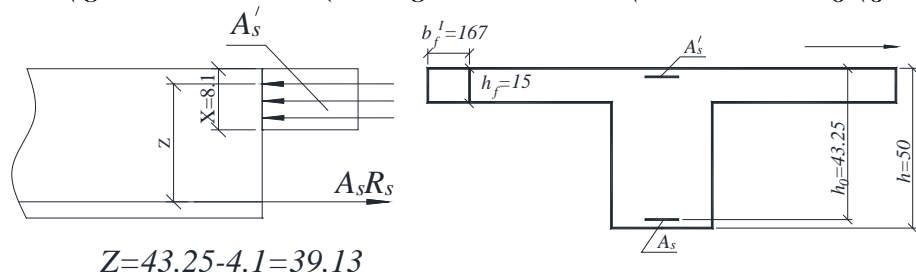
$(1+\mu)$  – დინამიკური კოეფიციენტია

$$(1 + \mu) = 1 + \frac{15}{37.5 + L} = 1 + \frac{15}{37.5 + 4.5} = 1.354 \quad (3.20)$$

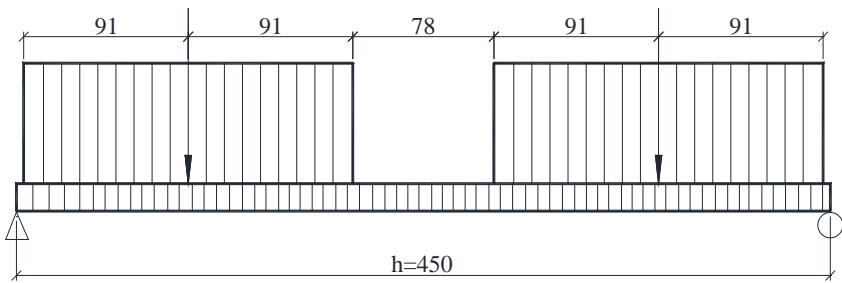
მაშინ საანგარიშო მღუნავი მომენტი იქნება:

$$\Sigma M = M_q + M'_p = 11.8 + 24.5 = 36.3 = 3630000 \text{ კგ·მ} \quad (3.21)$$

კოჭის მზიდუნარიანობა მალის შეაში ნახ. 3.9 და 3.10-ის მიხედვით შეადგენს



ნახ. 3.9. კოჭის მზიდუნარიანობის საანგარიშო სქემა



### **ნახ. 3.10. კოჭის მზიდუნარიანობის საანგარიშო სქემა**

$$\Sigma M < R_s A_s Z \quad (3.22)$$

გოლობიდან

$$R_b \cdot b \cdot x = A_s R_s$$

## შეკუმშული ზონის სიმაღლე იქნება

$$x = \frac{A_s R_s}{R_h \cdot b} = \frac{49 \cdot 2100}{75 \cdot 1.67} = 8.2 \text{ b}\vartheta \quad (3.23)$$

## შესაბამისად

$$\Sigma M < R_s A_s Z = 49 \cdot 2100 \cdot 39.13 = 4040000 \text{ дж}$$

და მაშინ კვეთის მზიდუნარიანობა დაკმაყოფილებულია

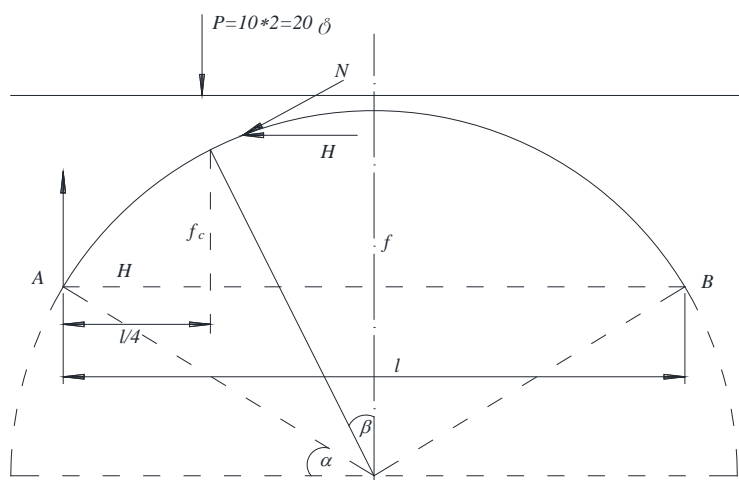
$$3630000 < 49 \cdot 2100 \cdot 39.13 = 4040000 \text{ Jg} \cdot \text{kg} \quad (3.24)$$

### **3.2.2. ესტაკადის მცირე თაღების გაანგარიშება.**

ესტაბილის მცირე თაღების შემოწმება ხდება HK-80 დატვირთვის ბორბლის დაწოლაზე.

მცირე თაღების საანგარიშო სქემა შედგენილია საქართველოს ტექნიკური უნივერსიტეტის არქივიდან მიღებული ზომების მიხედვით და სქემის პარამეტრები (იხ. ნახ. 3.11) შემდეგია:

$$l = 2.52 \text{ } \partial f = 0.74 \text{ } \partial \quad f_r = 0.60 \text{ } a = 62^0 \cos \alpha \cong 0.88 \text{ } A = \frac{3}{4}P \text{ } B = \frac{1}{4}P$$



ნახ. 3.11. ესტაკადის მკირე კამარების საანგარიშო სქემა

მცირე თაღები მოწმდება  $P = 20$  ტ შეუკრძალ დროებით დატვირთვაზე, სამ-სახსრიანი თაღის სქემით.

მღვწენავი მომენტი შეალა სახსრის მიმართ იქნება:

$$M_0 = A \cdot \frac{l}{2} - P \cdot \frac{l}{4} \gamma_f - Hf = \frac{3}{4} P \cdot \frac{l}{2} \gamma_f - P \cdot \frac{l}{4} \gamma_f - Hf = \frac{1}{8} P \cdot l \cdot \gamma_f - Hf = 0 \quad (3.25)$$

$$H = \frac{P \cdot l}{8f} \cdot \gamma_f = \frac{20 \cdot 2.52}{8 \cdot 0.74} \cdot 1.1 = 9.35 \text{ გ} \quad (3.26)$$

მომენტი მეოთხედ გალში იქნება:

$$\begin{aligned} M_r &= \frac{3}{4} \Phi \cdot \frac{l}{4} \gamma_f - H_{fr} = \frac{3}{4} \cdot 20 \cdot \frac{2.52}{4} \cdot 1.1 - 9.35 \cdot 0.60 = \\ &= 10.4 - 5.6 = 4.8 \text{ გ} \cdot \text{მ} \end{aligned} \quad (3.27)$$

ნორმალური ძალის სიდიდე იქნება:

$$N = \frac{H}{\cos \alpha} = \frac{9.35}{0.88} \approx 10.7 \text{ გ} \quad (3.28)$$

ნორმალური ძაბვა დროებითი შეცვლისული დატვირთვისაგან, სავალი ნაწილის სამოსის მიერ დატვირთვების განაწილების გათვალისწინების გარეშე, შეადგენს

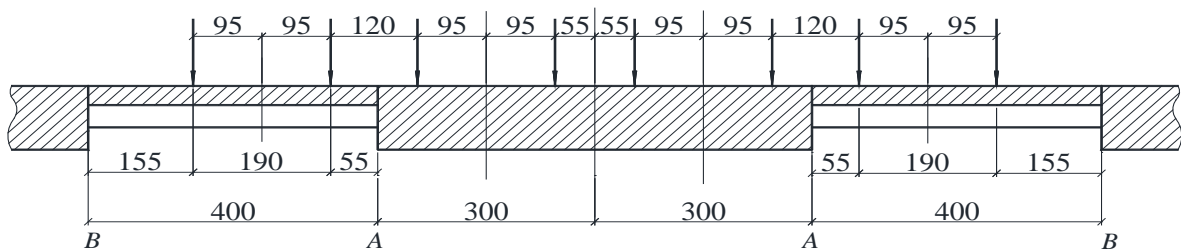
$$\begin{aligned} \sigma_{1,2} &= -\frac{N}{A} \mp \frac{M}{W} = -\frac{10700}{600 \cdot 40} \mp \frac{570000 \cdot 6}{600 \cdot 40 \cdot 40} = -0.45 \mp 3.6 \\ \sigma_1 &= -4.05 \text{ კგ/სმ}^2 \\ \sigma_2 &= +3.15 \text{ კგ/სმ}^2 \end{aligned} \quad (3.29)$$

СНиП 2.05.03-84-ის მიხედვით მინიმალური წინაღობა გაჭიმვაზეB-20 კლასის ბეტონისათვის შეადგენს  $R_{bt}=8.5 \text{ კგ/სმ}^2$ . მაშინ, სავალი ნაწილის მიერ დროებითი დატვირთვის განაწილების გათვალისწინების გარეშეც კი, ბეტონის სიმტკიცე გაჭიმვაზე ხიდის ესტაკადების მცირე თაღებში მთლიანად დაკმაყოფილებულია.

### 3.3. დიდი მალის კამარების გაანგარიშება

დიდი მალის შუალა კამარის გაანგარიშებისას ჯერ განისაზღვრება განივი დადგმის კოეფიციენტი ოთხი ზოლი AK-11 დატვირთვისას.

დატვირთვის სქემა მოცემულია ნახ. 3.12-ზე.



**ნახ. 3.12. დატვირთვის დაყენების სქემა**

კამარების გამაერთიანებელ ფილაზე მოსული დატვირთვებისაგან საყრდენი-რეაქციები შეადგენს:

$$A \cdot 400 = P \cdot 2.50 \quad (3.30)$$

საიდანაც

$$A = \frac{P \cdot 2.50}{400} = 0.625P \quad (3.31)$$

ფილაზე მდებარე ორი ზოლი შეცვლისული დატვირთვისათვის განივი დადგმის კოეფიციენტი იქნება:

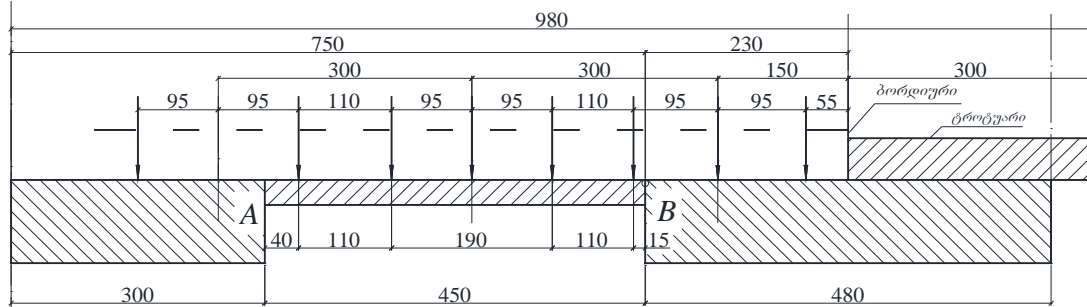
$$K_1 = \frac{A}{P} = \frac{0.625P}{P} = 0.625 \quad (3.32)$$

მრავალზოლიანობის კოეფიციენტი თაღზე მდებარე თანაბრად განაწილებული დროებითი  $v$  დატვირთვის ერთი ზოლისათვის ტოლია  $K_2=1$ , ხოლო მეორე ზოლისათვის  $K_3=0.6$ .

განივი დადგმის კოეფიციენტი შექურსული ძალებისათვის ნახ. 3.12-ის  
მიხედვით იქნება:

$$K_4 = \frac{2A + 2P}{P} = \frac{2 \cdot 0.625P + 2P}{P} = 3.25 \quad (3.33)$$

განაპირობებული კამარჯებისათვის განივი დადგმის კოეფიციენტის განსაზღვრისას **AK-11** დატვირთვის ბორბალი განლაგდება **ტროტუარის** ბორტოან ნახ. 3.13 შესაბამისად [1].



### **ნახ. 3.13. A-11 დატვირთვის დაყენების სქემა**

განისაზღვრა საყრდენი დაწოლაზე მოსახულებიდან:

$$B \cdot 4.65 = \frac{P}{2} \cdot (0.4 + 1.50 + 3.40 + 4.5) == \frac{P}{2} \cdot 9.80 \quad (3.33)$$

საიდანაც

$$B = \frac{4.9P}{4.65} = 1.054P \quad (3.34)$$

$$\text{კამარის } 1 \text{ მ სიგანეზე } \text{მოსული } \text{დატვირთვა } \text{იქნება } B = \frac{1.054P}{48} = 0.22P.$$

შუალედურ კამარაზე დატვირთვის განსაზღვრისას იყო  $K_4=3.25$  და დატვირთვა კამარის ერთი მეტრი სიგანისთვის შეადგენს

$$\frac{3.25P}{6} = 0.542P \quad (3.35)$$

ამიტომ ანგარიში სრულდება შეალენირი, მეტად დატვირთული კამარისთვის.

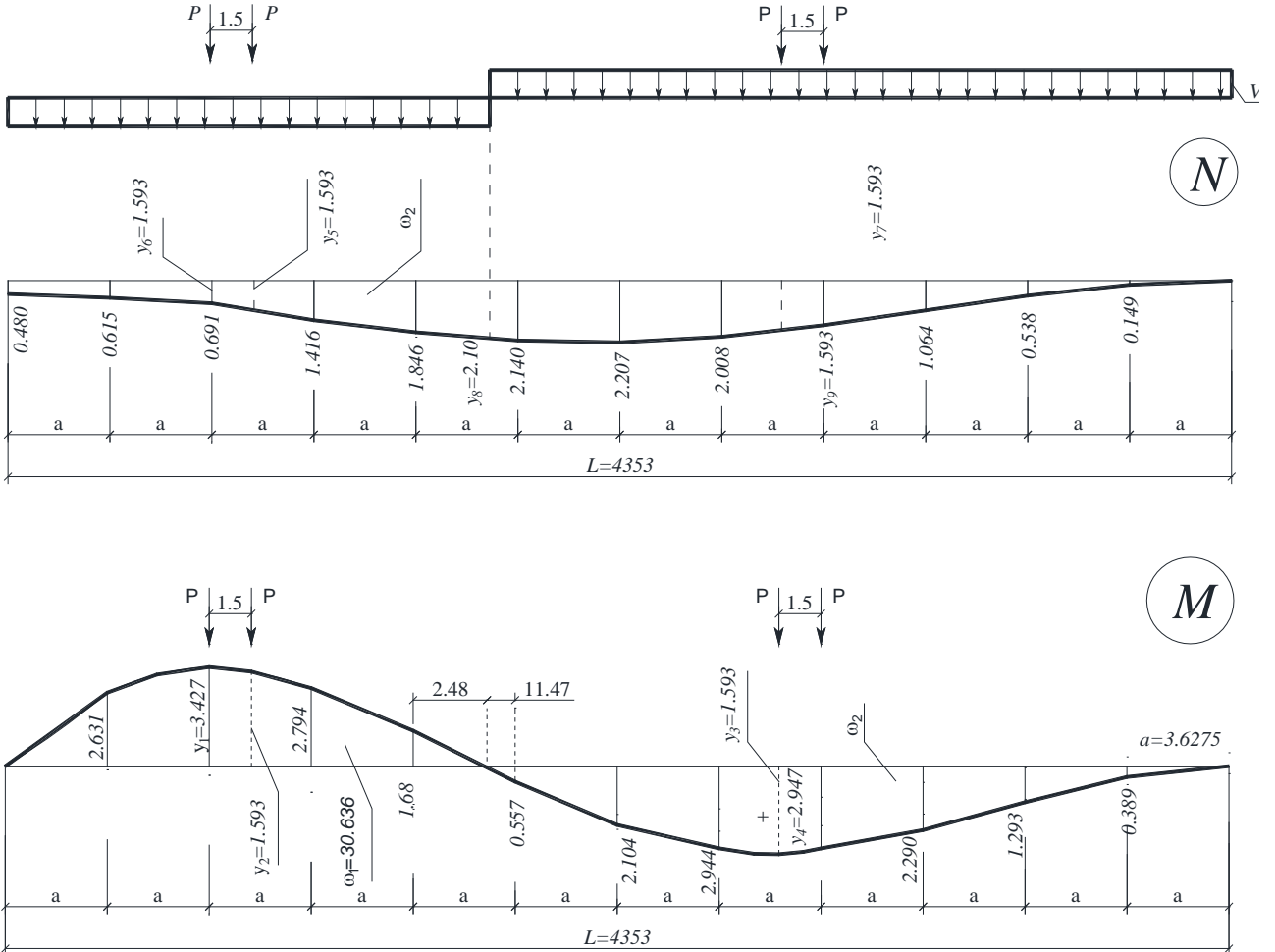
გავლენის ხაზების ფართობის გამოთვლა თაღის ქუსლში დროებითი დატვირთვის მდუნავი მომენტის „M“-ის გამოთვლისას ნახ. 3.14-ის მიხედვით ხდება შემდეგნაირად

$$\omega_1 = \frac{0+2.631}{2} \cdot 3.267 + \left( \frac{2.631+3.427}{2} + \frac{3.427+2.794}{2} + \frac{2.794+1.268}{2} \right) \cdot 3.627 + \frac{1.268 \cdot 2.48}{2} = \\ = 4.66 + 24.6 + 1.376 = 30.636 \text{ rad/s} \quad (3.36)$$

მომენტები თანაბრად განაწილებული დატვირთვისაგან:

$$-M_2 = -(\omega_1 \cdot v \cdot K_1 \cdot K_3 \cdot 2 + \omega_1 \cdot v \cdot K_2 + \omega_1 \cdot v \cdot K_3)(1+\mu)\gamma_f = -\omega_1 \cdot v (K_1 \cdot K_3 \cdot 2 + K_2 + K_3)(1+\mu)\gamma_f = 30.636 \cdot 1.1 (0.625 \cdot 0.6 \cdot 2 + 1.0 + 0.6) \cdot 1.106 \cdot 1.20 = -104.0 \quad (3.37)$$

$$\text{लगातार } v = 0.1K = 0.1 \cdot 11 = 1.1 \text{ लोक}/(\text{लोक. दि.}) \text{ लोक } 1 + \mu = 1 + \frac{70 - \lambda}{250} = 1 + \frac{70 - 43.55}{250} = 1.106.$$



ნახ. 3.14. გრძიგი ძალისა და მღუნავი მომენტის გავლენის წირები თაღის ქუსლში

მღუნავი მომენტი დროებითი შეყურსული დატვირთვისაგან იქნება:

$$-M_p = -P(y_1 + y_2)(1 + \mu)K_4 \cdot \gamma_f = -11 \cdot (3.43 + 3.28) \cdot 1.106 \cdot 3.25 \cdot 1.5 = -367 \text{ ტ}\cdot\text{მ} \quad (3.38)$$

საანგარიშო მღუნავი მომენტი დროებითი დატვირთვისაგან კამარის ქუსლში იქნება:

$$-M_p = -M_1 - M_2 = -367 - 104 = -471 \text{ ტ}\cdot\text{მ} \quad (3.39)$$

### 3.3.1. მღუნავი მომენტის განსაზღვრა დამუხრუჯების ძალისგან.

1950 წ-ის ტექნიკური პროექტის მიხედვით დამუხრიჭების ძალის სიდიდედ მიღებული იყო  $T_1 = 20.75 \text{ ტ}$ .

მღუნავი მომენტი კამარის ქუსლში დამუხრუჭების ძალისაგან მიიღება პროპორციულად დამუხრუჭების ახალი ძალისა, რაც იქნება:

$$T_2 = 2.5 \cdot K_{bd} \cdot \gamma_f = 2.5 \cdot 1.1 \cdot 11 = 30.3 \text{ ტ} \quad (3.40)$$

მაშინ მღუნავი მომენტი კამარის ქუსლში შეადგენს:

$$M_T = \frac{30.5}{20.75} \cdot 20.2 = 29.5 \text{ ტ}\cdot\text{მ}$$

ნორმალური  $N$  ძალა განისაზღვრა შეყურსული ძალისთვის შემდეგნაირად (ნახ. 3.14.)

$$N_1 = P(y_1 + y_2)(1 + \mu)K_4 \cdot \gamma_f = 11 \cdot (1.08 + 0.615) \cdot 1.106 \cdot 3.25 \cdot 1.5 = 100 \text{ ტ}\cdot\text{მ} \quad (3.43)$$

თანაბრად განაწილებული დატვირთვისაგან გამოწვეული ნორმალური ძალის ანგარიშისთვის საჭიროა გამოითვალოს შესაბამისი გავლენის ხაზის ფართობი:

$$\omega_1 = \left( \frac{0.48 + 2.10}{2} + 0.615 + 0.691 + 1.416 + 1.846 \right) \cdot 3.6275 = 21.25\delta^2$$

მაშინ ნორმალური ძალა იქნება

$$N_2 = -\omega_2 \cdot V(K_1 \cdot K_3 + K_2 + K_3)(1 + \mu)\gamma_f = \\ = 21.25 \cdot 11(0.625 \cdot 0.6 + 1 + 0.6) \cdot 1.106 \cdot 1.20 = 62 \text{ ტ} \cdot \text{მ} \quad (3.44)$$

საანგარიშო ნორმალური ძალა დროებითი დატვირთვისაგან იქნება  $100 + 62 = 162$  ტ.

### 3.3.2. გადაანგარიშების შედეგები.

1950წ-ის ანგარიშების შესაბამისი ყველა მონაცემები მოყვანილია ცხრილი 3.2 და 3.3-ში, ხოლო 2015 წლის შესაბამისი – ცხრილი 3.4 და 3.5-ში.

გადაანგარიშება ძალების ხისტი არმატურისა, დროებითი დატვირთვის გაზრდის და საიმედოობის კოეფიციენტის გათვალისწინებით მოყვანილია ცხრილში 3.6.

### ცხრილი 3.2

#### ძალვები მუდმივი და დროებითი დატვირთვებისაგან 1950 წ. ანგარიშის მიხედვით

გარსის კვეთის დასახელება		ძალვები გარსის ზედა ბოჭკოში		ძალვები დრ. დატვირთვისაგან		ძალვა ტემპ. გაზრდისაგან		ძალვა ტემპ. შემცირებისაგან		ბეტონის ჯდენის ძალვა		დამუხრუჟების ძალვა
ძალვები		$N_\delta$	$M_\delta\text{მ}$	$N_\delta$	$M_\delta\text{მ}$	$N_\delta$	$M_\delta\text{მ}$	$N_\delta$	$M_\delta\text{მ}$	$N_\delta$	$M_\delta\text{მ}$	$M_\delta\text{მ}$
კლიტები	მაქ.	+912.96	+16.20	+172.90	+97.20	+71.00	-76.00	-71.00	+76.00	-45.80	+49.00	
	მინ.	+912.96	+16.20	+124.4	-41.14	+71.00	-76.00	-71.00	+76.00	-45.00	+1.83	
მეოთხედი	მაქ.	+932.46	+28.20	+68.82	+118.60	+69.80	-2.84	-69.80	+2.84	-45.00	+1.83	
	მინ.	+932.46	+28.20	+205.00	-103.70	+69.80	-2.84	-69.80	+2.84	-45.00	+1.83	
ქუსლი	მაქ.	+1016.64	+33.18	+172.50	+262.50	+62.00	+269.00	-62.00	-269.00	-40.00	-173.00	$\pm 20.2$
	მინ.	+1016.64	+33.18	+150.70	-238.30	+62.00	+269.00	-62.00	-269.00	-40.00	-173.00	$\pm 20.2$

### ცხრილი 3.3

#### ჯამური საანგარიშო ძალვები 1950 წ. ანგარიშის მიხედვით

თაღის კვეთი		ძალვები		მირითადი და დამატებითი ძალვები		შენიშვნა	
		$N_\delta$	$M_\delta\text{მ}$	$N_\delta$	$M_\delta\text{მ}$		
კლიტები	max.	+1085.85	+113.40	+969.05	+238.40	ძალვები მოცემულია 1950 წ. წარმოებული გაანგარიშის მიხედვით მდ. მტკვარზე მეტების ხიდის ტექნიკური პროექტიდან	
	min.	+1037.36	-24.94	+106.26	-51.94		
მეოთხედი	max.	+1001.28	+146.80	+886.48	+151.47		
	min.	+1137.46	-75.50	+1162.26	-76.51		
ქუსლი	max.	+1189.14	+295.68	+1211.14	+411.38		
	min.	+1167.34	-205.12	+1065.34	-667.32		

ცხრილი 3.4  
ძალგები მუდმივი და დროებითი დატვირთვისათვის 2015 წის ანგარიშის მიხედვით

თაღის კვეთი		ძალგები თაღზედა ნაშენში		ძალგები დროებითი დატვირთვისაგან		ძალგა ტემპ-რატურის ზრდისას		ძალგა ტემპერატურის შემცირებისას		ძალგა ბეტონის ჯდენისას		და-მუხრან ჭების ძალგა
ძალგები		N <sub>Ø</sub>	M <sub>Øθ</sub>	N <sub>Ø</sub>	M <sub>Øθ</sub>	N <sub>Ø</sub>	M <sub>Øθ</sub>	N <sub>Ø</sub>	M <sub>Øθ</sub>	N <sub>Ø</sub>	M <sub>Øθ</sub>	M <sub>Øθ</sub>
კლიტები	max.	+1004.26	+17.82			+71.00	-76.00	-71.00	+76.00	-45.80	+49.00	
	min.	+1004.26	+17.82			+71.00	-76.00	-71.00	+76.00	-45.80	+49.00	
გეო-ოთხებები	max.	+102.71	+31.02			+69.80	-2.84	-69.80	+2.84	-45.00	+1.83	
	min.	+1025.71	+31.02			+69.80	-2.84	-69.80	+2.84	-45.00	+1.83	
ქარსები	max.	+1118.3	+36.83			+62.00	+269.00	-62.00	-269.00	-40.00	-173.00	±29.5
	min.	+1118.3	+36.83	162.0	-471	+62.00	+269.00	-62.00	-269.00	-40.0	-173.00	±29.5

შენიშვნები: 1. გარსზედანაშენების ძალგები გაზრდილია კოეფიციენტით  $\gamma_f = 1.10$  თანახმად 1950 წ-ს წარმოებული ანგარიშის მიხედვით.  
 2. დროებითი დატვირთვა მიღებულია СНиП 2.05.03-84 მიხედვით.

ცხრილი 3.5

**ჯამურისაანგარიშობაძალგები2015წ-სანგარიშისმიხედვით**

გარსის კვეთის დასახელება		ძირითადი ძალები		ძირითადი და დამატებითი		შენიშვნა	
ძალგები		N <sub>Ø</sub>	M <sub>Øθ</sub>	N <sub>Ø</sub>	M <sub>Øθ</sub>		
კლიტები	max.	-	-	-	-	M და N ძალგების გამოთვლები წარმოებს ყველაზე დატვირთული თაღის ქარსები.	
	min.	-	-	-	-		
გეო-ოთხებები	max.	-	-	-	-		
	min.	-	-	-	-		
ქარსები	max.	-					
	min.	1280.36	-471.0	1178.3	-942.5		

ცხრილი 3.6

**ძალგების განსაზღვრა დიოთონის ხისტი არმატურისათვის გარსის მუშაობის  
სხვადასხვა სტადიაში**

კვეთი	სარტყელი	დატვირთვა თაღის ბეტონის საქუთარი წონისაგან	დატვირთვა ლი- თონის არმატურის საქუთარი წონისაგან	ჯამური ძაბვა	ძაბვა თაღის მუ- შაობისას	ნაბრძი ახალი დატ- ვირთვისაგან	ჯამური ძაბვა
1	2	3	4	5	6	7	8
პლიტე	ზედა	-772.0	-60.0	-832.0	-644.0	-910	-1742.0
	ქვედა	-347.0	-60.0	-407.0	+172.0	+195	+208
მეოთხედი	ზედა	-540	-27.5	-567.5	+27.3	+39.5	-528.0
	ქვედა	-645	-95.7	-740.7	-400.0	-565	-1305.7
ქუსლი	ზედა	-476	-66.0	-542.0	+640.0	+908	+366
	ქვედა	-750	-66.0	-816	-765	-1085	-1850.0

აქევე უნდა აღინიშნოს ის გარემოება, რომ ახალი დატვირთვების ანგარიშიდან გამომდინარე მიიღება მომენტების გაზრდა ქუსლში  $M=667.32$  ტ-დან  $M=942.5$  ტ-დე (ცხრილი 3.3 და 3.5). მომენტის ნაზრდმა შეადგინა  $\frac{942.5 - 667.32}{667.32} \cdot 100 = 41\%$ . ამ-

იტომ, არ არის მოყვანილი ხისტი არმატურის ძაბვების გამოთვლები, ხოლო მათი მნიშვნელობები, მიღებული მეტების ხიდის პროექტის [5] ცხრილის მე-6 გრაფიდან, გაზრდილია 41%-ით და მოყვანილია ამ ნაშრომის 3.6 ცხრილში.

ჯამური ძაბვა ლიოთონში მუდმივი და ახალი დროებითი დატვირთვისაგან მოყვანილია მე-6ცხრილის მე-8 სვეტში. ეს ჯამური ძალვა ნაკლებია ძაბვაზე  $R_s=1900$  კგ/სმ<sup>2</sup>, რაც მოცემულია CH 200-62-ში [7] და მიღებულია ხიდის გადაანგარიშებისათვის.

### 3.3.3. ყველაზე დატვირთული კამარის მზიდუნარიანობის განსაზღვრა ხისტი არმატურის ამოყვანის დროს მასში მოქმედი ძაბვების გათვალისწინებით

ხისტი არმატურაში გაჭიმვისას მოქმედი საბოლოო ზღვრული ჯამური ძალვები მიღებულია ფოლადისთვის Ct.3 მისამართის CH 200-62-ის ცხრ. 36 მიხედვით  $R_s=1900$  კგ/სმ<sup>2</sup>, რამდენადაც CH 2.05.03-84-ში არ არის BCt.3.

ძალვის სიდიდეები ხისტი არმატურაში თაღის დაბეტონებისას მოყვანილია ცხრილ 3.5-ში და აღებულია მეტების ხიდის ტექნიკური პროექტიდან.

არაცემტრალური შეკუმშული, კამარის ქუსლის, კვეთის გაანგარიშებისათვის აუცილებელია განისაზღვროს თაღის თავისუფალი სიგრძე, როგორც პირობითად ორი ბოლოთი ჩამაგრებული დერძისა. ასეთი ანგარიში შეიძლება შესრულდეს CH 200-62-ის მიხედვით ([7] პ. 411).

დეროს პირობითი სიგრძე იანგარიშება ფორმულით:

$$l_0 = \pi \sqrt{\frac{8f}{L_p K}} \cdot L_p \quad (3.45)$$

სადაც თაღის ისარი  $f = 4.87 \text{ მ}$ , ხოლო საანგარიშო მალი  $L_p = 43.53 \text{ მ}$ .

უსახსრო თაღისათვის სიდიდე  $K$  ტოლია

$$K = (2 + \frac{f}{L_p}) K_0 = (2 + \frac{4.87}{43.53}) 30.2 = 63.6 \quad (3.46)$$

სადაც  $K_0$  აიღება [7] -ის 42 ცხრილის მიხედვით (ინტერპოლაციით)

$$K_0 = 28.5 + 1.7 = 30.2. \quad (3.47)$$

მიღებული სიდიდეების ჩასმით ფორმულაში (3.45) მიიღება

$$l_0 = 3.14 \sqrt{\frac{8 \cdot 4.87}{43.53 \cdot 30.2}} \cdot 43.53 = 23.50 \text{ მ} \quad (3.48)$$

შესაბამის ქუსლში კვეთის მზიდუნარიანობის დასადგენად პერიოდი მოქმედი ძალების სიდიდეები შემდეგია:

- ჯამური მომენტი  $M=942.5 \text{ ტ}\cdot\text{მ}$
  - მღუნავი მომენტი მუდმივი დატვირთვისაგან  $M_t=36.83 \text{ ტ}\cdot\text{მ}$
  - ნორმალური ძალა  $N=1178.3 \text{ ტ}$  (ცხრილიდან 3.5).
- ნეიტრალური ლერძის მდებარეობა განისაზღვრება ტოლობიდან:

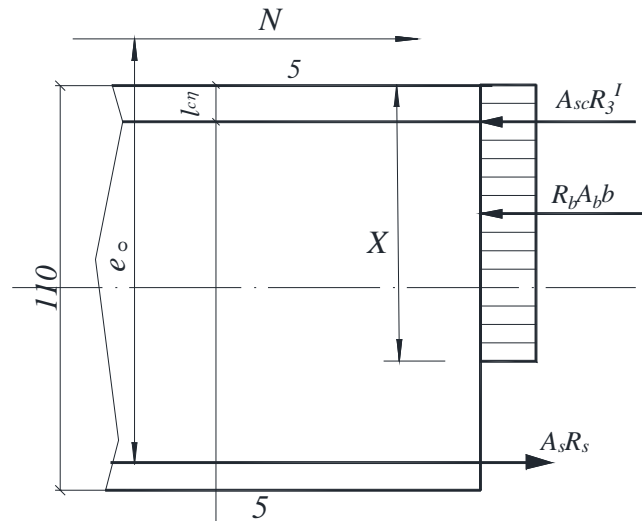
$$N = R_b \cdot b \cdot x \quad (3.49)$$

საიდანაც

$$x = \frac{N}{R_b \cdot b} = \frac{1178300}{97 \cdot 600} = 20 \text{ სმ.}$$

აქ  $R_b=97 \text{ კგ/სმ}^2$ , ნაცვლად [1] -ში მოყვანილი მნიშვნელობისა  $R_b=105 \text{ კგ/სმ}^2$ , მაგრამ თაღში ბეტონის სანგრძლივი გამაგრების ხარჯზე  $R_b=75 \text{ კგ/სმ}^2$ -დან სიმტკიცის გაზრდის გათვალისწინებით.

კვეთის მზიდუნარიანობის განსაზღვრა ხდება ფორმულით (ნახ. 3.15)



ნახ. 3.15. ქუსლის კვეთის მზიდუნარიანობის განსაზღვრის სქემა

$$N \cdot e_0 \leq R_b \cdot b \cdot x(h_0 - 0.5x) + R_{sc} \cdot A'_s (h_{01} - a'_s) \quad (3.50)$$

ამისათვის საჭიროა რიგი გამოთვლების ჩატარება, კერძოდ:

$$e_c = \frac{M}{N} = \frac{94550000}{117300} \cong 80 \quad (3.51)$$

$$\eta = \frac{1}{1 - \frac{N}{N_{cr}}} \quad (3.52)$$

↓

$$N_{cr} = \frac{6.4 E_b I_b}{\varphi_l L_o^2} \left( \frac{0.11}{0.1 + 0.14} + 0.1 \right) \quad (3.53)$$

$$\text{ამასთან, } E_b = 275000 \text{ კგ/სმ}^2 \text{ და } I_b = \frac{600 \cdot 110^3}{12}, \text{ ხოლო}$$

$$\delta_{min} = 0.5 - 0.01 \frac{L_0}{h_{bs3}} - 0.01 R_b = 0.5 - 0.01 \cdot \frac{23.50}{0.9} - 0.01 \cdot 97 = 0.14 \quad (3.54)$$

$$\varphi_l = 1 + \frac{M}{M_l} = 1 + \frac{36.83}{945.5} = 1.04 \quad (3.55)$$

მიღებული მნიშვნელობების შეტანით (3.53) ფორმულაში, მიიღება

$$N_{cr} = \frac{6.4 \cdot 275000 \cdot 600 \cdot 110^3}{1.04 \cdot 2350^2 \cdot 12} - \left( \frac{0.11}{0.1 + 0.14} + 0.1 \right) = 11200 \text{ ტ.} \quad (3.56)$$

მიღებული სიდიდის ჩასმით (3.52) ფორმულაში მიიღება:

$$\eta = \frac{1}{1 - \frac{1178.3}{11200}} \cong 1.1 \quad (3.57)$$

$$e_0 = e + e_c \cdot \eta = 50 + 80 \cdot 1.1 = 138 \text{ სმ.} \quad (3.58)$$

კერძო მიღებული სიდიდეების ჩასმით (3.50) ფორმულაში საბოლოოდ მიიღება:

$$\frac{1178300 \cdot 138}{1000 \cdot 100} = 1626$$

$$\frac{97 \cdot 600 \cdot 20(105 - 0.5 \cdot 10) + 1084 \cdot 57.6 \cdot 6 \cdot 100}{1000 \cdot 100} = 1539$$

$$1626 \text{ ტ} > 1539 \text{ ტ.} \quad (3.59)$$

სხვაობა შეადგენს:

$$\frac{1626 - 1539}{1539} \cdot 100 = 5,65\% \quad (3.60)$$

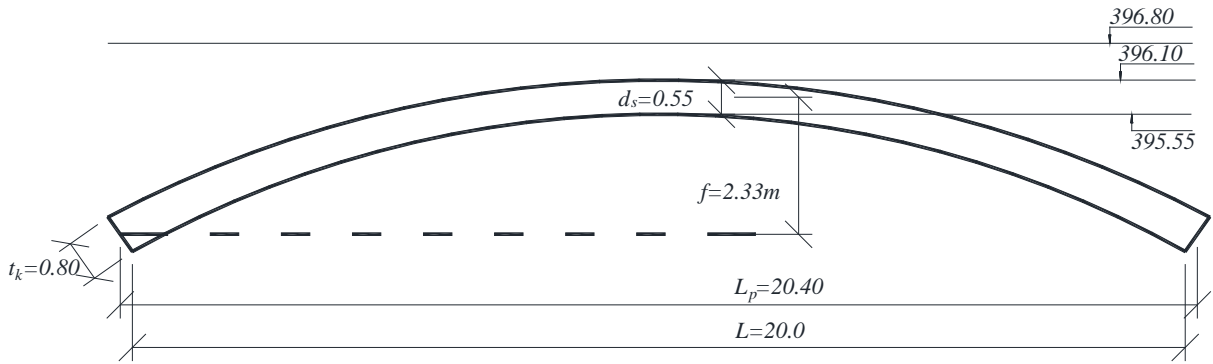
ანუძაბვის გადამეტებაარ აღემატება 6%, რაც დასაშვებია.

### 3.4. სანაპირო მალის თაღის გადაანგარიშება

#### 3.4.1. საერთო ნაწილი.

სანაპირო მალისთაღის საანგარიშო სქემა მოცემულია ნახ. 3.16-ზე, საანგარიშო მალი მიიღება  $L_p=20.40$  მ, ხოლო თაღის ისარი  $-f=2.33$  ტ.

ანგარიშისთვის მონაცემები მიღებულია „სიდის ტექნიკური პროექტიდან” [5], სადაც მოცემულია დროებითი თანაბრად განაწილებული დატვირთვისაგან მომენტებისა და ნორმალური ძალების გამოთვლა. იქიდანვეა აღებული გავლენის წირები, რომლებიც მოცემულია ნახ. 3.17 მათი გამოყენებით  $M_{min.} = -\omega_1 = -7.76 \text{ ტ}^2$  შესაბამისი გრძივი ძალისთვის



**ნახ. 3.16. სანაპირო მალვი თაღის საანგარიშო სქემა**

$$N = \omega_2 = 6.56 \text{ } \delta^2$$

თანახმად მოქმედი ნორმებისა, კვეითთა დატვირთვა ტროტუარზე განისაზღვრება ფორმულით

$$P_T = 400 - 2\lambda = 400 - 2 \cdot 8.5 = 383 \text{ } \delta\delta/\delta^2 \quad (3.61)$$

სადაც  $\lambda$  – გავლენის ხაზის სიგრძეა, ამ შემთხვევაში  $M_{\min.}$ .

### 3.4.2. მღუნავი მომენტები დანორმალური ძალები თაღის ქუსლში.

განისაზღვრება მხოლოდ კამარის ყველაზე დატვირთული, ქუსლის კვეთისთვის.

მომენტები დატვირთვისაგანტროტუარებზე

$$-M_T = -\omega_1 p_T \gamma_f a = -7.76 \cdot 0.383 \cdot 1.2 \cdot 6 = -21.3 \text{ } \delta\delta \quad (3.62)$$

ნორმალური ძალა დატვირთვისაგანტროტუარებზე

$$N_T = \omega_2 p_T \gamma_f a = 6.56 \cdot 0.383 \cdot 1.2 \cdot 6 = 18 \text{ } \delta \quad (3.63)$$

სადაც საიმედოობის კოეფიციენტი დატვირთვის მიხედვით  $\gamma_f = 1.2$ , ხოლო  $a$  – ორი ტროტუარის სიგანეა  $-2 \cdot 3 = 6$  მ.

ძალვა დროებითი თანაბარგანაწილებული დატვირთვის 4 ზოლისაგან იქნება

$$M_v = -\omega_1 \cdot 0.1 \cdot K_{TC} \cdot \gamma_f (1 + \mu) \cdot (1 + 3 \cdot 0.6) = -7.76 \cdot 0.1 \cdot 11 \cdot 1.2 \cdot 1 \cdot 2.8 = -29 \text{ } \delta\delta \quad (3.64)$$

კოეფიციენტი 0.6 მიიღება მოძრაობის 3 ზოლისათვის.

ნორმალური ძალა თანაბრად განაწილებული დატვირთვისაგან დატვირთვის 4 ზოლისათვის

$$N_v = \omega_1 \cdot 0.1 \cdot K_{TC} \cdot \gamma_f \cdot (1 + 3 \cdot 0.6) = 6.56 \cdot 0.1 \cdot 11 \cdot 1.2 \cdot 2.8 = 24.6 \text{ } \delta. \quad (3.65)$$

ძალვა შეეურსული ძალებისაგანიქნება:

- მღუნავი მომენტისათვის ქუსლში

$$-M_p = -P \cdot 4 \cdot \gamma_f (1 + \mu) (y_1 + y_2) = 11 \cdot 4 \cdot 1.5 \cdot 1(1.67 + 1.43) = -205 \text{ } \delta\delta \quad (3.66)$$

- ნორმალური ძალა ქუსლში

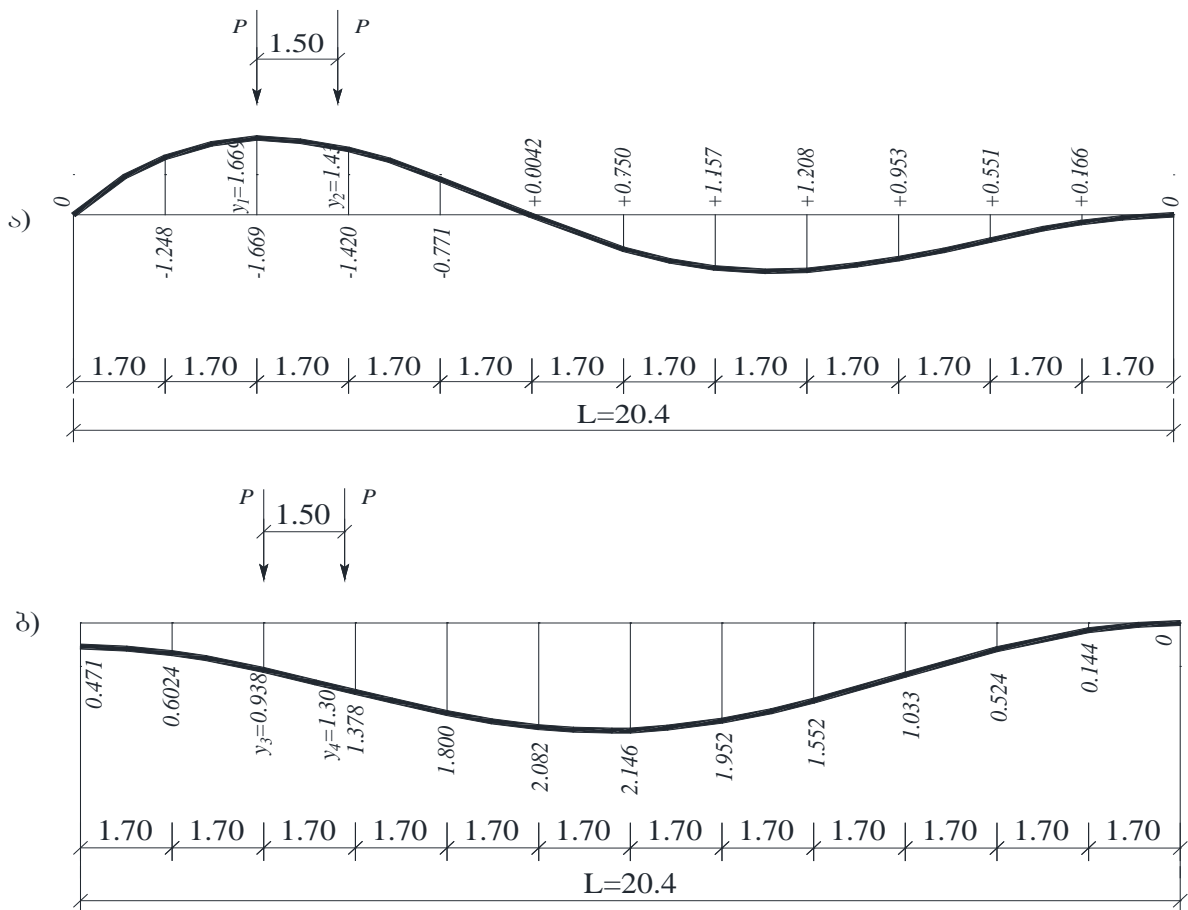
$$N_p = P \cdot 4 \cdot \gamma_f (1 + \mu) (y_3 + y_4) = 11 \cdot 4 \cdot 1.5 \cdot 1(1.31 + 0.94) = 148.5 \text{ } \delta \quad (3.67)$$

ძალვების ჯამური მნიშვნელობები იქნება:

$$\Sigma M = -M_T - M_v - M_p = -(21.3 + 29 + 205) = -255.3 \text{ } \delta\delta \quad (3.68)$$

$$\Sigma N = N_T + N_v + N_p = (18 + 24.6 + 148.5) = +311.1 \text{ } \delta \quad (3.69)$$

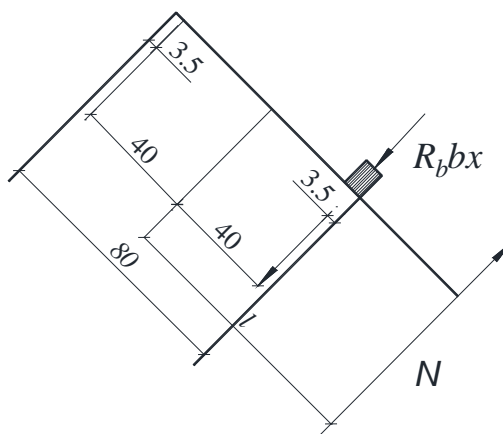
ახალი გაანგარიშების ყველა შედეგი მოცემულია ცხრილში. ყველა ძალებისაგან საანგარიშო სიდიდეების მისაღებად გამოყენებულია საანგარიშო



ნახ. 3.17. ძალგების გავლენის წირები მცირე მაღის თაღის ქუსლში:  
ა – მღუნავი მომენტისათვის; ბ – გრძივი ძალისათვის

მონაცემები, რომლებიც მოყვანილია ტექნიკურ პროექტში [5] დანაჩვენებია ცხრილებში 3.7. ცხრილში 3.8. შევვანილია ძალგები მუდმივი დატვირთვისაგან საიმედოობის კოეფიციენტის  $\gamma_f = 1.1$  გათვალისწინებით. ტემპერატურისაგან და ბეტონის შეკლების შესაბამისი ძალგები უცვლელად არის დატოვებული, ხოლო დროებითი დატვირთვები შეტანილია ახალი გადაანგარიშების შედეგების მიხედვით.

### 3.4.3. ქუსლის კვეთის შემოწმება მზიდუნარიანობაზე. საანგარიშო კვეთი მოყვანილია ნახ.3.18-ზე.



ნახ. 3.18. ქუსლის საანგარიშო კვეთი მზიდუნარიანობის განსაზღვრისათვის

ცხრილი 3.8-ის მონაცემებით კამარის 1 გრძ.მ სიგანისათვის გვაქვს მომენტებისა და ნორმალური ძალების შემდეგი მნიშვნელობები

$$-M_1 = \frac{\Sigma M}{24.6} = -\frac{2446.3}{24.6} = -99.5 \text{ ტ}\cdot\text{მ} \quad (3.70)$$

$$N_1 = \frac{N}{24.6} = \frac{1514}{24.6} = 64 \text{ ტ} \quad (3.71)$$

$$e = \frac{M_1}{N_1} = \frac{99.5}{57} = 162 \text{ სმ} \quad (3.72)$$

$$e_0 = e + 40 = 162 + 40 = 202 \text{ სმ} \quad (3.73)$$

ნეიტრალური ღერძის მდებარეობა მიიღება ყველა ძალების დაგეგმილებით პორიზონტალურ ღერძზე.

$$N_1 = R_b \cdot b \cdot x \quad (3.74)$$

საიდანაც

$$x = \frac{62000}{97 \cdot 100} = 6.4 \text{ სმ} \quad (3.75)$$

თაღის მზიდუნარიანობა მოწმდება გამოსახულებით

$$N_1 \cdot e \leq A_s R_s \cdot (h_0 - a'_s) + x \cdot R_b \cdot (h_0 - 0.5x) \cdot b$$

შესაბამისად

$$62000 \cdot 202 = 12524000 \text{ კგ} \cdot \text{სმ}$$

$$70 \cdot 2100(76.5 - 3.5) + 6.4 \cdot 100 \cdot 97(76.5 - 3.2) = 10731000 + 4550464 = 15281464 \text{ კგ} \cdot \text{სმ}$$

$$12524000 \text{ კგ} \cdot \text{სმ} < 15281464 \text{ კგ} \cdot \text{სმ}$$

ანუ თაღის მზიდუნარიანობა ქუსლის კვეთში უზრუნველყოფილია დროებითი დატვირთვების გატარებისას СНиП 2.05.03-84 მოთხოვნების შესაბამისად.

### ცხრილი 3.7.

#### ძალგები თაღის კვეთები

კვეთი	ძალვა	შემცირებული დატვირთვების სახი	ტემპერატურისაგან		ბეტონის მეტელი და გადატვირთვების მიზნისას	დროის დატვირთვების მიზნისას	საანგარიშო ძალგები	
			მატებისას	შემცირებისას			ძირითადი	ძირითადი
გლიტე	M <sub>გსქ.</sub>	+101.5	-332.0	-332.0	+214.0	+81.41	+728.91	+182.91
	N	+1722.0	+680.0	+680.0	-438.0	+232.0	+836.0	+1954.0
	M <sub>გინ.</sub>	+101.5	-332.0	-332.0	+214.0	-18.42	-34.92	+83.08
	N	+1722.0	+680.0	+680.0	-438.0	+169.20	+2133.2	+1891.2
გეოთექნიკი	M <sub>გსქ.</sub>	+4.49	-14.95	+14.95	+9.46	+88.0	+116.91	+92.49
	N	+1761.0	+666.0	-666.0	-430.0	+95.78	+760.78	+1856.7
	M <sub>გინ.</sub>	+4.49	-14.96	+14.96	+9.46	-60.0	-61.01	-55.51
	N	+1761.0	+666.0	-666.0	-430.0	+265.1	+2252.10	+2026.1
ქქსლი	M <sub>გსქ.</sub>	-318.6	+1080.0	-1080.0	-760.0	+140.74	+142.24	-177.76
	N	-2006.0	+600.0	-600.0	-387.0	+216.95	+2435.95	+2223.9
	M <sub>გინ.</sub>	-318.5	+1080.0	-1080.0	-760.0	-160.84	-2319.84	-479.24
	N	+2006.0	+600.0	-600.0	-387.0	+132.06	+1151.06	+2138.6

ცხრილი 3.8

**ძალგები თაღის ქუსლის კვეთში**

კვეთის დასახელ ება	ძალგა	მუდმივი დატვირ- თვისგან	ტემპერატურისაგან		საბოლოო მდგრადი მაღალის მდგრადი	დროებითი დატვირ- თვებისაგან	საანგარიშო ძალგები	
			მატების ას	შემცირები- სას			ძირითადი დამატებითი	ძირითადი
ქუსლი	M <sub>მაქ.</sub>	-351.0	+1080.0	-1080.0	-760.0			
	N	-2260.0	+600.0	-600.0	-387.0			
	M <sub>მინ.</sub>	-351.0	+1080.0	-1080.0	-760.0	-255.3	-2446.3	-573.8
	N	+2210.0	+600.0	-600.0	-387.0	+191.1	+1514.0	+2401.0

**შენიშვნა:** ანგარიში შესრულებულია მხოლოდ  $M_{\min}$  და შესაბამისი N ძალისათვისყველაზე დაძაბულ ქუსლის კვეთში.

## 4. რეკომენდაციები და დასკვნა

მეტების ხიდის კონსტრუქციების გამოკვლევის შედეგად დადგინდა, რომ მთლიანობაში ნაგებობა დამაკმაყოფილებელ მდგომარეობაშია, რაიმე დაზიანებები ან დაფექტები, რომლებიც გავლენას მოახდენენ მის მზიდუნარიანობაზე არ დაფიქსირებულა. ამასთან აღინიშნა რიგი დაზიანებებისა და დაფექტებისა, რომლებიც მოქმედებენ ხიდის ხანმედეგობასა და საექსპლოატაციო თვისებებზე. კერძოდ:

- 1) რეაბილიტაციას საჭიროებს ხიდზე წყალმოცილების სისტემა;
- 2) რეაბილიტაციას საჭიროებს ხიდის ჰიდროიზოლაცია თანამედროვე მასალების გამოყენებით;
- 3) რეაბილიტაციას საჭიროებს ხიდის მცირე მალის თაღის ქვედა ზონა;
- 4) რეაბილიტაციას საჭიროებს დიდი მალის თაღის კონსტრუქციების დამცავი შრე;
- 5) რეაბილიტაციის საჭიროებს მარცხენა ნაპირის ზემომხრის მიწაყრილის დამცავი საფარი.

საბოლოოდ კეთდება დასკვნა, რომ ხიდზე სარეაბილიტაციო სამუშაოების შესრულების შემდეგ, როემლიც უნდა შესრულდეს საპეციალური პროექტით, შესაძლებელია მისი ექსპლოატაცია მოქმედი ტექნიკური პირობების შესაბამისად.

სარეაბილიტაციო სამუშაოების პროექტი უნდა შედგეს ხიდის გამოკვლევის წარმოდგენილი ანგარიშის საფუძველზე.

## Література

1. СНиП 2.05.03-84. Мосты и трубы. Нормы проектирования. – Москва: Стройиздат, 1984.
2. СНиП III-43-75. Мосты и трубы. Правила производства и приемки работ. – Москва: Стройиздат, 1976.
3. СНиП 3.06.07-86. Мосты и трубы. Правила обследований и испытаний. – Москва: Стройиздат, 1986.
4. ГОСТ 8829-94. Изделия строительные железобетонные и бетонные заводского изготовления. Методы испытания нагружением. Правила оценки прочности, жесткости и трещиностойкости.
5. Технический проект моста через р. Кура в Тбилиси (Пояснительная записка и графическая часть).
6. ВСН 32-78. Инструкция по определению грузоподъемности железобетонных балочных пролетных строений автодорожных мостов. – Москва: «Транспорт», 1979.
7. СН 200-62. Технические условия проектирования железнодорожных, автодорожных и городских мостов и труб. – Москва: Трансжелдориздат, 1962.
8. Технические условия и нормы проектирования искусственных сооружений на городских путях сообщения. –Москва: Минкоммунхоз РСФСР, 1948.
9. Астафьев А.Ф. Строительный справочник по бетону и железобетону. – Ленинград: Стройиздат, 1932.
10. Словинский В.А., Шубитидзе Дж.С. К определению расчетной ширины плит коробчатых блоков. // «Транспортное строительство», №6, Москва, 1985. – с. 16-17.
11. Словинский В.А., Шубитидзе Дж.С. К расчету коробчатых блоков на срез. // «Транспортное строительство», №3, Москва, 1989. – с. 17.

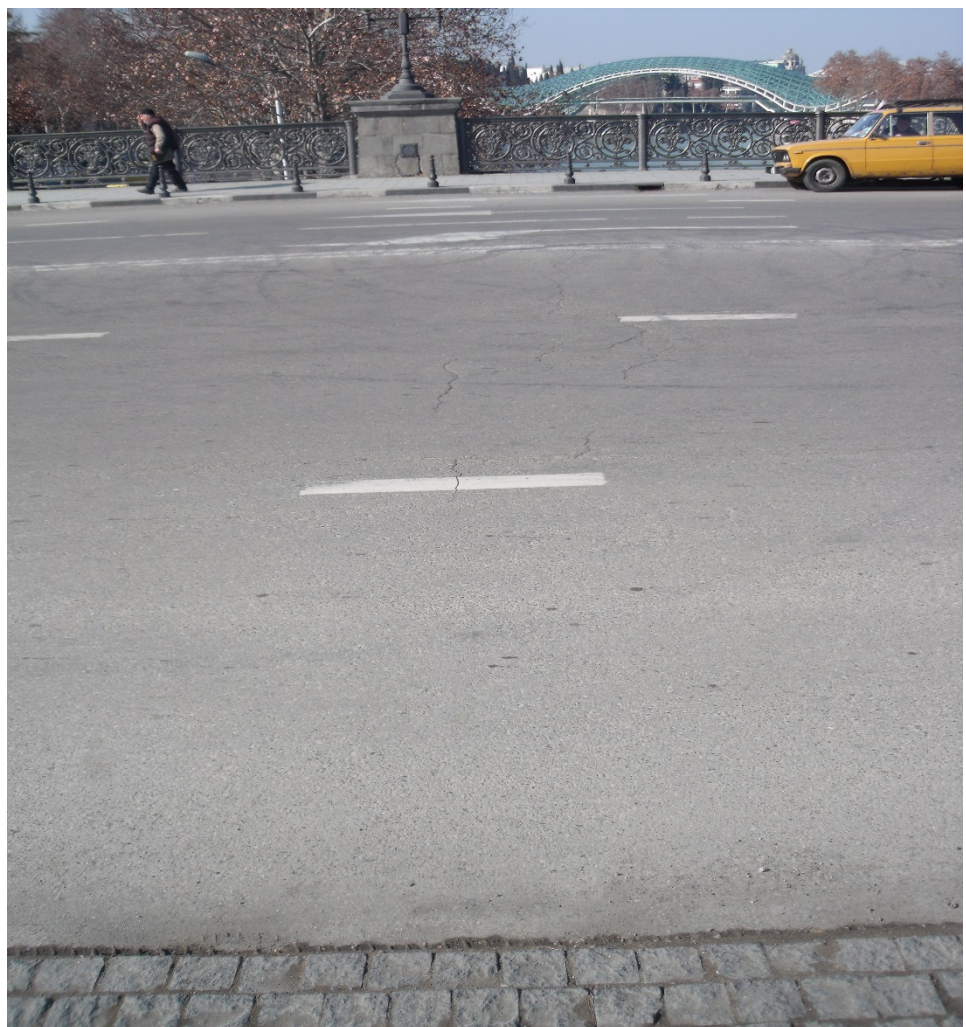
დ ა ნ ა რ თ ვ ა ბ ი



სურ. ლ-1. მისასვლელი მიწაყრილის დეფორმირებული ქონუსი



სურ. ლ-2 გაძიღნული წყალმიმღები



ურ. ლ-3. დაბზარული საგალი ნაწილის საფარი (მარჯვენა ნაპირთან)



სურ. ლ-4. განივი კავშირის გამოტუტული (მარჯვენა ბოლოში) და დაზიანებული ბეტონი (მარცხენა ბოლოში)



სურ. დ-5. წყალშონგა მცირე თაღის ქუსლები



სურ. დ-6. გამოტუტვა ტროტუარის კონსოლებში



სურ. დ-7. გამოტუტვა მცირე თაღში (ლერძნებ)



სურ. ლ-8. გამოტუტვა მცირე მაღის თაღში (ქუსლთან)



სურ. ლ-9. ტროტუარის კონსოლის დაზიანებული და გამოტუტული ბეტონი



სურ. ლ-10. დაზიანებული მცირე თაღის შესახვლები (მდინარის მხარე)

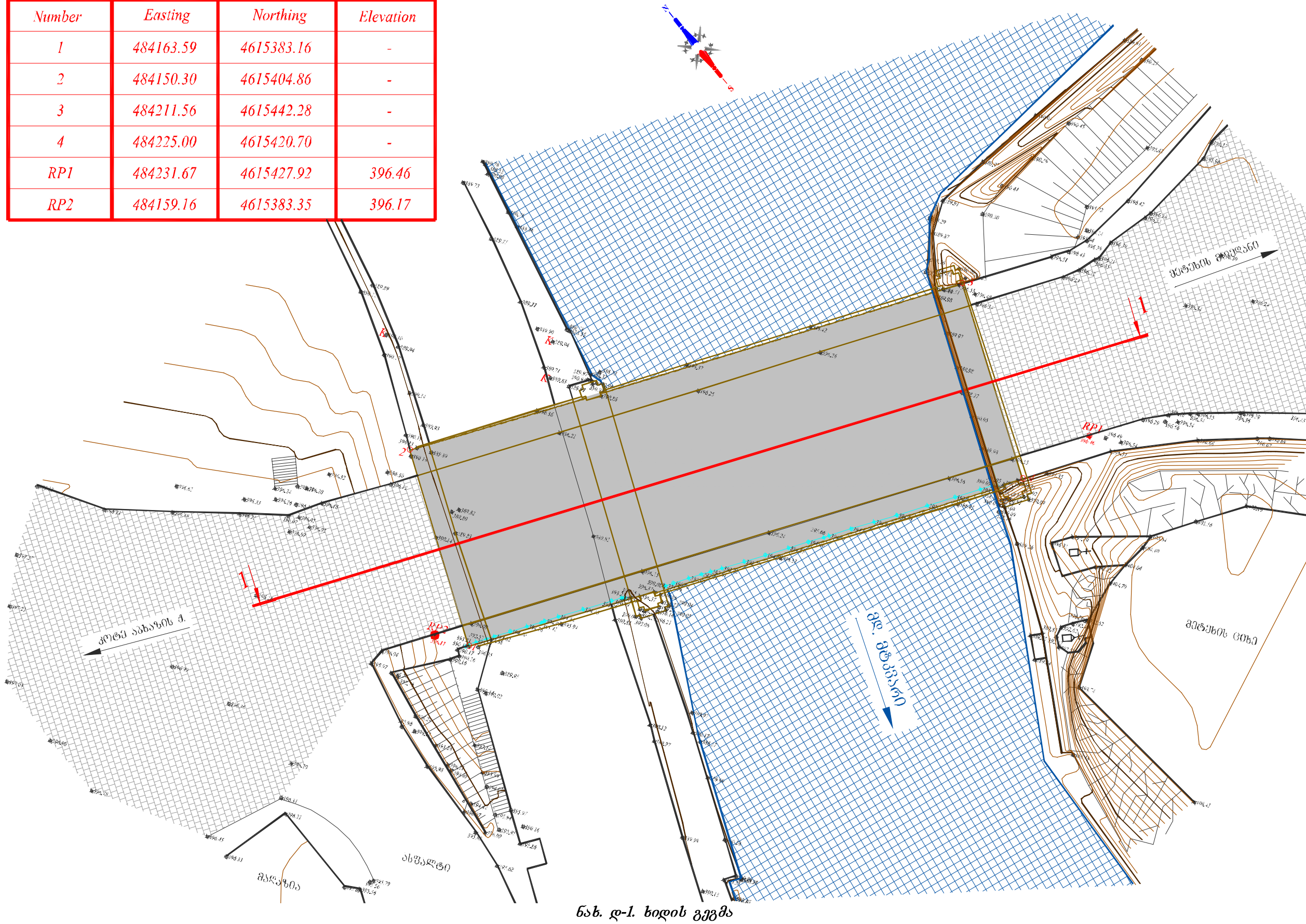


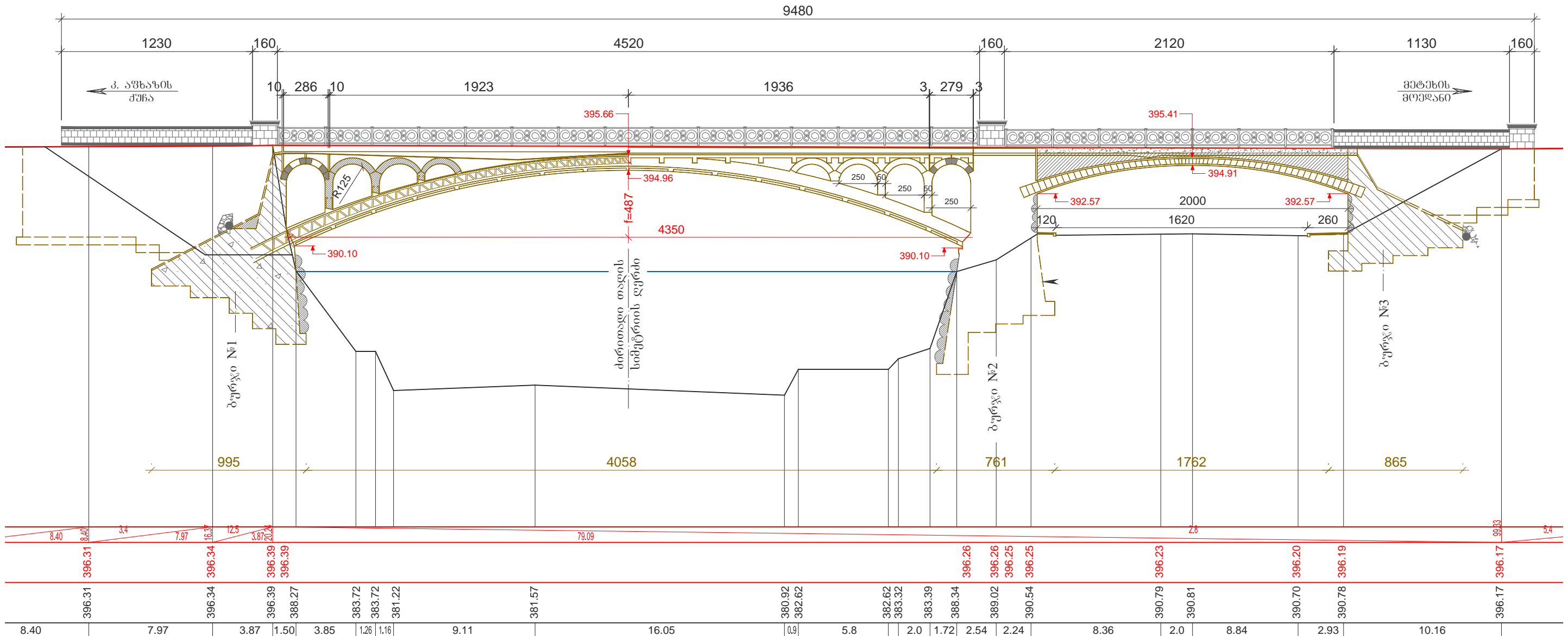
სურ. ღ-11. გამოტუტვა სამდინარო მალის განაპირა თაღში



სურ. ღ-12. გამოტუტვა სამდინარო მალის თაღებში და შუალედ ბურჯზე

<i>Number</i>	<i>Easting</i>	<i>Northing</i>	<i>Elevation</i>
1	484163.59	4615383.16	-
2	484150.30	4615404.86	-
3	484211.56	4615442.28	-
4	484225.00	4615420.70	-
<i>RP1</i>	484231.67	4615427.92	396.46
<i>RP2</i>	484159.16	4615383.35	396.17

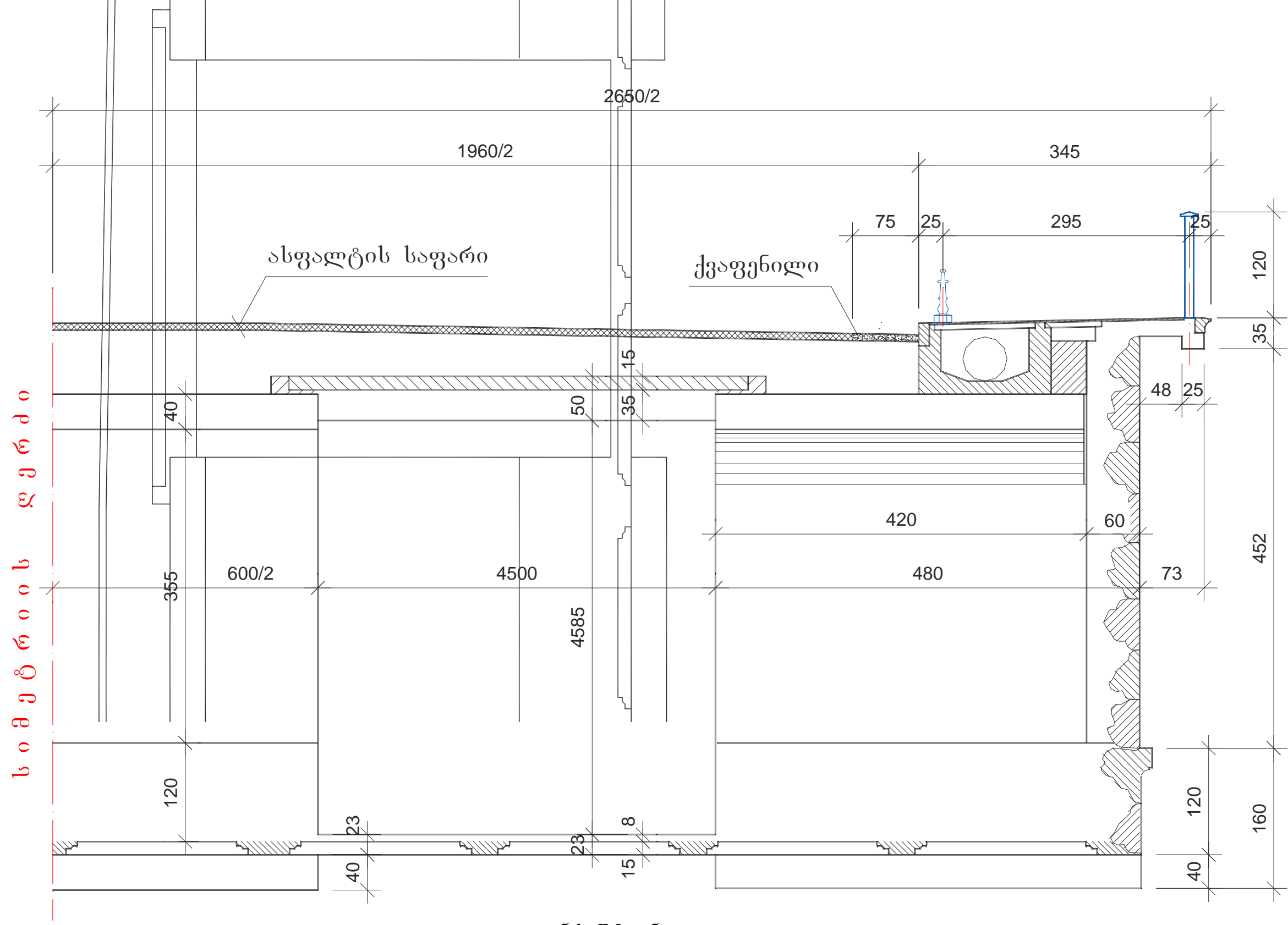




შეტყმა:

- #### 1. ნახაზზე ზომები მოცემულია სანტიმეტრებში

## ნახ.ღ-2. ხიდის საერთო ხედი



### ნახ. ლ-8. განივი კვეთი